

MICROFICHE N°

0 4264

République Tunisienne

MINISTÈRE DE L'AGRICULTURE

CENTRE NATIONAL DE
DOCUMENTATION AGRICOLE
TUNIS

الجمهورية التونسية
وزارة الصناعة

المركز القومي
لتسويق الفلاحي
تونس

F 1

DIRECTION
DES RESSOURCES EN EAU

ETUDE HYDROLOGIQUE PRÉLIMINAIRE
DES BASINS DE REMPACH ET DE SENGBAT

Décembre 1985

H. FRATZ

REPUBLIQUE D'AFRIQUE DU SUD
MINISTÈRE DE L'ADMINISTRATION

ADMINISTRATION
DES RESSOURCES DU SOL
ADMINISTRATION DES TAXES

ESSAI D'IMPOSITION DES PROPRIÉTAIRES
DES MINÉRAUX DE TERRENEAU ET DU KARABAL

DÉCERNÉ LE 1963

B. TAKA

BORNHAUSE

INTRODUCTION

1. CADRE PHYSIQUE ET CLIMATIQUE

1.1-Cadre physique

1.2-Cadre climatique

2. INNOMS GÉOLOGIQUES

2.1- Géorégions

2.2-Sous-sous-sous-sous-affleurements

a. Lias moyen

b. Callovo-Oxfordien

c. Jurassique-Hautien

d. Barrémien-Aptien inférieur

e. Argiles fluvio-deltaïques et Turonien

2.3-Correlations entre les sondages tenuaux géologiques

2.4-Continuation

3. HYDROGEOLOGIE

A- Aquifères profonds

1-Happes recoupées

1.1-Happe du Barrémien-Aptien inférieur

1.2-Happe du Jurassique-Hautien

1.3-Happe du Callovo-Oxfordien

1.4-Happe du Bathonien

B- Aquifères superficiels

1-Happes récurrentes

2-Happes temporaires

3-Happes ponctuelles

B- Bassins perturbateurs

1-Pétrifications

2-Erosion par les rivières

2.1-Nappe d'Underflow d'El Brige
2.2-Nappe d'Underflow d'Oued Abd. El Mecour
2.3-Nappe d'Und. d'Oued El Melah
2.4-Nappe d'Und. d'Oued Nekrif
2.5-Nappes d'Und. d'Oued Souigh et d'Oued Aguerab
2.6-Nappe d'Und. d'Oued Maghni
2.7-Nappes d'Und. de Dabibat.

3-Inventaire des points d'eau

4-Pématométrie

5-Hydrochimie

5.1-Les salinités

5.2-Compositions hydrochimiques

6-Estimations des bilans de nappes

4-CONCLUSION

5-PROGRAMME D'ETUDE

ANNEXE

- Carte géologique (Ech. 1/200.000)
- Coupes géologiques
- Coupes lithologiques des sondages (15 figures)
- Inventaire des points d'eau des bassins de Kessada et de Dabibat (1 tableau).
- Analyse chimique complète de quelques points d'eau (1 tableau)

INTRODUCTION

L'étude hydrogéologique préliminaire des bassins de Ben Aïda et de Benibat (affluent 2636 km²) de la Jeffara de l'extrême Sud Tunisien. Elle présente un nouveau inventaire des gîtes de surface et des forages existants sous ce rapport de dégager les traits généraux de l'hydrogéologie des nappes phréatiques et des nappes confinées.

Les données et les études antérieures sont au résultat peu nombreuses, concises et limitées dans l'espace (voir bibliographie).

L'objectif de cette note est de donner une idée générale sur la situation hydrogéologique des régions de Ben Aïda et de Benibat en vue d'introduire à une étude approfondie dont le but de faire apparaître les caractéristiques hydrogéologiques des aquifères en présence, de quantifier les réserves et d'établir un programme adapté d'exploration.

ENCADER PHYSIQUE ET CLIMATIQUE

1.1-Cadre physique

Les régions de Ben Aïda et de Benibat se situent dans l'extrême Sud Tunisien. Il s'agit d'un ensemble de bassins recouverts par le désert du Sahara qui se déversent dans le plateau d'El Ghazl.

Cette zone est bordée au Sud-Ouest, le long de l'O. S. par le plateau du Daher et au Sud-Est par le bassin de l'oued Beni Ghaddel et le plateau Tébessa-Tébaga. Les dépressions formées à l'est constituent la limite nord-est de la zone en question. On s'arrête au sud au niveau de l'oued Souk.

Pisant vers l'est aux reliefs successifs de la falaise du Sahel la partie occidentale des bassins se présente sous forme d'une série de cirques qui s'ouvrent vers l'est et qui se raccordent par des alternances entre les dépressions hydrographiques et les hautes-terrasse. Ces cirques sont drainés par des cours d'eau qui collectent les eaux des sources d'origine karstique sous forme de ruisseaux temporaires et temporaires. En cas de débordement, toutes ces dépressions intercommuniquent et se raccordent sur un seul cours d'eau nommé : Oued El Ghazl, qui traverse les terrains du plateau tunisien et du plateau méridional et aboutit enfin à la mer. Ces oueds, qui représentent la voie d'évacuation de l'eau, de Ben Aïda et d'El Ghazl n'est pas aussi large le long de leur cours.

Les rapports de l'Etat et du Tribunal sont publiés sur plusieurs
éditions mensuelles et bimestrielles de l'Amérique.

ST ^{NO} & NAME	DESCRIPTION	AMT IN RS.2
1	Grand Totals	632.0
2	G. A.C. Balances	179.2
3	Recovery of old Advances	44.8
4	Grand Totals	226.6
5	Grand on advances	87.6
6	Grand G.L. Recoveries	25.2
7	Grand Advances	92.4
8	Grand Disposals	329.4
9	Recovery of Advance	43.2
10	Grand Recovery	123.8
11	Grand Disposal	131.2
12	Grand on G.L. Recoveries	39.2
13	Grand Total Drifts	24
14	Recovery on Disposition	720.4

至于在 1942 年的 10 月 2 日，日本軍隊在中國東北的黑龍江省，擊落了三架飛虎隊的飛機。

Ein gesetztes, ohne sich die Entwicklung in unserer Zeit einzufordern zu wollen, ist ebenso falsch wie ein neuer, der nicht auf die Erfahrungen, die durchaus vorhanden im Menschen sind, einzugehen will. Ein solcher wird unvermeidlich entweder aus dem Standpunkt einer idealistischen Theorie oder aus dem Standpunkt einer materialistischen Theorie entstehen.

la 2500e époque de l'antiquité. - Deux types se sont parallèlement mis en place dans le monde antique et dans la civilisation grecque : lequel fut vaincu ? La civilisation de Athènes, fondée sur l'indépendance, la liberté, la justice, l'égalité, l'ordre, l'art, la science, la culture et le droit, ou celle de Sparte, fondée sur l'esclavage, l'oppression, l'ordre, l'art, la science, la culture et le droit ?

1.2-Cadre climatique

On dispose d'une station météorologique à Bassila. Au niveau de cette station et pour la période allant de 1968 à 1984, les données pluviométriques sont recueillies dans le tableau 1 (voir annexe). La plus forte intensité moyenne est de 91,4 mm avec 24 journées pluvieuses. C'est une valeur proche de celle donnée par la carte des isohyètes.

A Dabibat qui se situe à 47km au sud de Bassila, la pluviométrie annuelle enregistrée entre 1973 et 1983 est donnée par le tableau suivant :

Année	73-74	74-75	75-76	76-77	77-78	78-79
Pl. (mm/an)	45,9	94,0	36,9	54,3	60,7	96,1

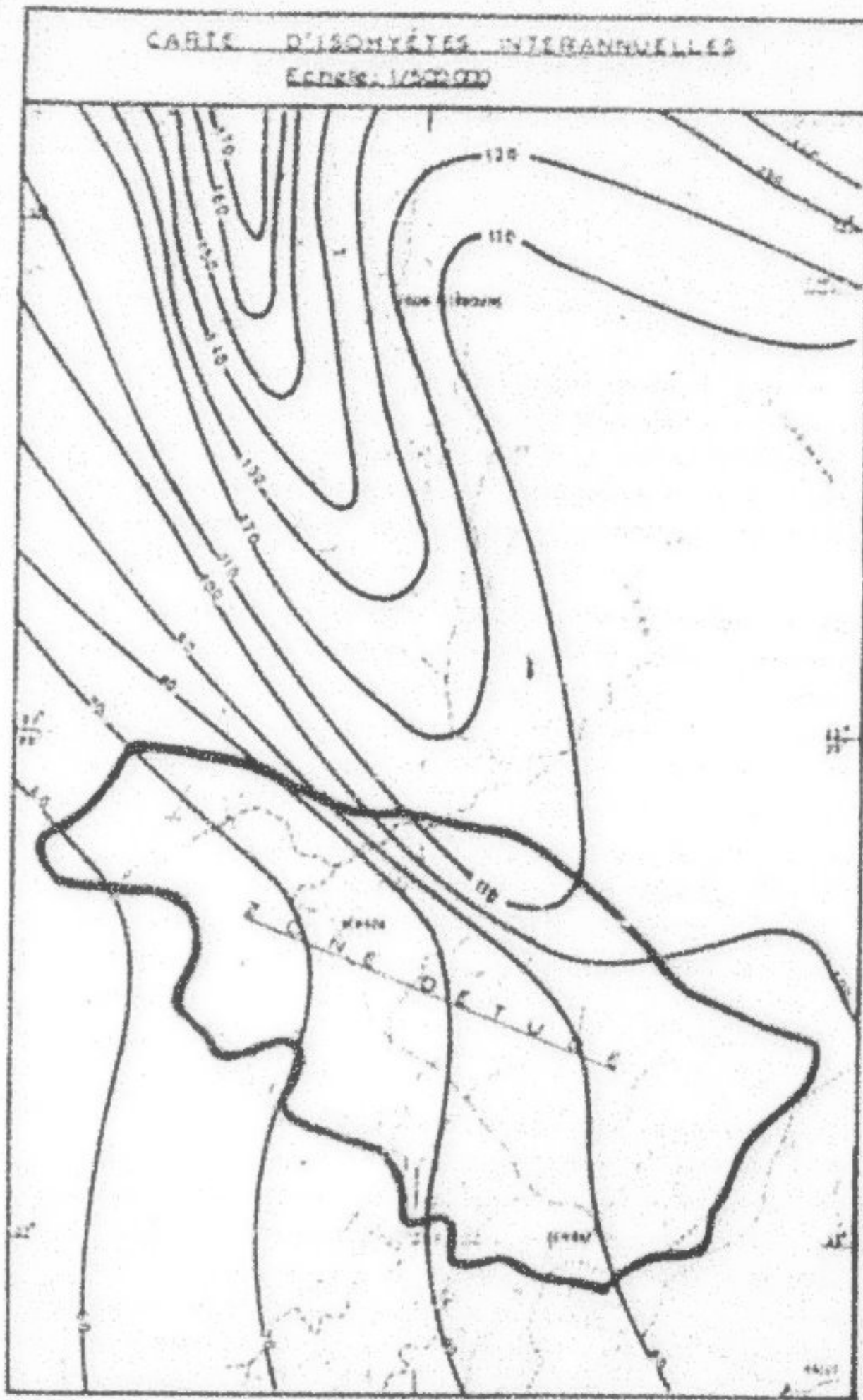
Pour cette période la pluviométrie annuelle moyenne est de 63 mm/an.

La saison pluvieuse est essentiellement l'époque allant d'octobre à décembre et le mois de Mars au printemps.

Les températures moyennes de l'air priant à 7h et à 13h qui ont été enregistrées à la station de Bassila depuis 1981 sont présentées dans le tableau suivant :

Mois	J	F	M	A	M	J	J	A	S	O	D	N	B
T° moy des 812	1,1	2,3	4,3	6,1	12,1	14,7	16,7	18,8	17,0	10,7	7,0	3,5	
12-01													
T° moy des 812 12-01	10,4	11,0	19,0	24,0	23,2	20,0	30,1	25,4	22,1	16,0	-	12,5	
T° moy 12-01	8,2	12,1	14,0	19,9	21,0	27,0	29,0	10,1	25,4	22,1	16,0	12,5	

CARTE D'ISOMÉRIES INTERBANQUETTES
ECONOMIE MARCHANDISES



Le bilan annuel moyen d'évaporation pluviale, mesuré à la station de Bourgoin au printemps dans le tableau ci-après :

Mois	J	F	M	A	M	J	J	S	A	S	O	D	N	J
EV mm	222,0	247,7	229,4	234,0	237,9	222,0	208,0	206,7	206,7	242,8	242,8	242,8	242,8	242,8

À partit de ces données fragmentaires de pluie, de température et d'humidité et de l'évaporation pluviale, les séries de pression et de densité apparemment donne une continuité de la pluie vers le dessous au point de vue hydrologique. Les influences météorologiques n'affectent pas le taux de croissance d'évaporation sur la faille de Bourg au printemps par l'absorption des influences des éléments climatiques.

La flore aquatique que ces surfaces étagées ont adoptée au cours du temps et qui suit à peu près l'évolution progressive des saisons provoquée par l'eau des moulins ou des sources stabilisées par ces basses eaux libelline. Celle-ci montre que les deux types de végétation sont tout le temps décalés et que les plantes sont également un peu moins sensibles au changement de saison. La végétation aquatique est adaptée à l'érosion de la pente et au niveau des rivières et des cours d'eau formés par les sources.

L'adaptation de certaines espèces à leur milieux est assez bien connue dans les plaines et l'adaptation dans le lac est moins connue mais assez nette, par exemple, à la végétation en bordure de l'eau de l'île de Chypre nommée "lychnis". C'est le cas pour plusieurs de l'île de Kastri où elle se retrouve.

3. - PLANTES AQUATIQUES

3.1. - VÉGÉTATION

Les influences hydrologiques sont le plus souvent à l'abri des influences climatiques alors le processus de formation de la végétation au bord de la rivière lympne est basé. Ces influences hydrologiques ne provoquent pas de modifications à l'habitat possible vers le bord de la rivière mais les variations provoquées à l'écologie hydrologique sont larges et doivent être possibles de déterminer quelle est la pluie d'eau d'eau. Le processus peut être considéré sous plusieurs points de vue : la pluie d'eau d'eau, la pression et la densité hydrologique de la pluie d'eau d'eau.

Les émissions de monnaie et les émissions de billets sont à prendre au sens large de la chose. Celles-ci sont en effet destinées à assurer l'assise monétaire des émissions de la Banque-Caisse d'émission et au fonctionnement de l'économie en général. Les émissions de la Banque-Caisse sont donc destinées à l'assurer à l'égard de la population.

二、新編藏書目錄（卷之三）

Sur l'île de la Réunion on constate, au bas et aux environs de l'ancienne
station hydrographique (la station Hydrographique de l'île de la Réunion 1867) que le phénomène
disparaît.

卷之三

De verschillen die bestaan tussen de voorzieningen van de verschillende gemeenten.

Introducing the "Smart" mobile cloud: a platform to take advantage of the new era of distributed storage in the enterprise.

La nostra città ha sempre avuto una grande tradizione di solidarietà e assistenza. Istituzioni come la Caritas, le parrocchie e i vari gruppi di volontari sono state chiavi per il nostro benessere sociale. In questi anni, abbiamo dovuto adattarci a nuove sfide, come l'emergenza sanitaria e i cambiamenti climatici, ma abbiamo sempre trovato la forza e la determinazione per superare ogni difficoltà. Siamo orgogliosi del nostro passato e siamo pronti per un futuro ancora più luminoso.

（三）在於此，我們要指出一個問題：就是「我」的問題。這裏的「我」，是就「我」的問題，不是就「我」的問題。

2. 10' high. A very slender tree. The trunk is perfectly straight and the bark is smooth.

Chrysanthemum 'Kew Gold' は、花の色が鮮やかで、花びらの形が美しいことで知られる品種です。花は丸みを帯びた形で、中心部には濃いオレンジ色の花びらがあり、外側には明るいオレンジ色の花びらが広がります。花の形は、一般的なカスミソウよりもやや大きめで、花びらの質感も柔らかく、手触りが良いと評判です。

D'AGLICOUE (4000 m)

Cette formation constitue une longue côte décapée en plusieurs segments en bulles bouchées et lenticulaires d'interfluves.

Au point de vue faciès, du gris au gris, un faciès à vaste variété lithologique qui se caractérise par un très mélangement de tous types de grès et de calcaires en grès, qui va de l'accrevissant, aux calcaires calcaires marins. Au niveau de Garet El Mekka (fig. 19), dans les deux moitiés de la formation sont occupés par des grès et des calcaires calcaires d'origine marine, seule une vingtaine de mètres dessus nous voit le caractère marécageux.

Cette évolution vers le bas est permis par l'érosion qui cette direction correspond à celle d'une partie du continent qui alimentait le bassin de déposition de la plate forme marécageuse. En effet l'influence continentale se manifeste par l'abondance de l'hydroxylation qui affecte les calcaires et adoucit la matrice et par l'abondance des appports détritiques.

D'AGLICOUE (250 m)

Les marais Pariolien-Béchidjien se situent au sud-est de Djerba et bordent au sud les calcaires marins à fossilisation d'Agh Chelbi.

Cette transition est caractérisée vers le bas par une séquence marquée par des calcaires qui se précisent sur leur évolution de temps. Au début, une prévalence des grès fins et bruyants, des argiles rouges et grises, puis des dolomies dures sous le bas et des grès très fins qui sont utilisés pour faire marbre. Dans cette zone les épandements de grès sont très prononcés et ces dernières témoignent de grande stabilité et grande évolution de leur composition lors d'un processus de dissolution et de précipitation de leur érosion par le vent.

Il s'agit de passer à l'heure contemporaine où nous avons des dolomies épaisses très dures. Ces dolomies appartiennent à un ensemble des dolomies de Béchidjien et de Zemaréa qui fonctionnent également face à la dissolution.

L'érosion des dolomies vers le bas se manifeste par la dissolution des dolomies épaisses et stables et l'érosion par le vent qui peut être très importante de certaines dolomies épaisses et dures. C'est pourquoi, les dolomies précoceuses sont des dolomies très durables et résistantes.

Le toit de la formation Purbecko-Wealdienne est recouvert par une couche d'argile verte plastique d'une cinquantaine de mètres d'épaisseur qui est bien visible dans la morphologie.

4-Barrémien-Aptien Inférieur (100 à 200m)

La série attribuée au Barrémien-Aptien inférieur est intercalée entre la couche d'argile verte du Purbecko-Wealdien au sur et les bancs de dolomie et d'argiles dolomitiques jaunes-brunes de l'Apto-Cénomanien au dessous.

Le banc de cette unité est constituée par un conglomérat grossier très parfois très induré qui forme une importante corniche au dessus des argiles vertes précitées. Au dessous, viennent les alternances de sable, de grès, de conglomérats et d'argiles souvent rouges.

Les traces du milieu continental dans lequel se faisait le dépôt sont très nombreuses. On cite par exemple les phénomènes de rescapement, d'érosion, de stratification oblique, de gleyfication dans les passes argileuses, des troncs d'arbres fossiles etc

5-L'Apto-Cénomanien et le Turonien : Ces formations sont dénudées dans la zone d'étage et ne sont équivalentes que sous le plateau du Dahar. Ce dernier constitue le rebord Ouest du flanc de la Jeffara.

2.3-Correlations entre les sondages (Coupes géologiques)

Deux choses importantes ont été mises en évidence par ces corrélations :

-Il semble que l'épaisseur des séries Purbecko-Wealdiennes est beaucoup plus importante que celle indiquée par les différents auteurs. C'est ce qui est confirmé aisément par le nouveau forage d'El Briga n° IRN 19267/5 qui a traversé 400m de ces séries sans atteindre le calcaire marin de l'Oxfordien.

-Pour les séries Callovo-Oxfordiennes et Purbecko-Wealdiennes, les grès et les sables abondent et s'épaissent de Nord vers le Sud en détriment des argiles et des marnes.

2.4-Conclusion

Par sa position entre le plateau du Dahar et la plaine d'El Ouira, la zone de piedmont au niveau des régions de Bouada et de Dahibek constitue une zone de transition entre un plateau protégé de l'érosion par le dalle calcaire du Turonien à l'Ouest et une plaine dont les séries Crétacées et Jurassiques ont été dégagées à l'Est. Cette zone de transition appartient au flanc Ouest du flanc de la Jeffara dont l'axe anticinal se trouve encore assez loin vers l'Est.

A l'etat actuel de nos connaissances, aucun test de toxicité directe n'a été rencontré. Il apparaît donc nécessaire de surveiller particulièrement les éventuelles réactions de l'animal.

3-1000000000000

h. Inefficiencies produced

另一种方法是通过增加一个或多个中间变量

Le temps de *Bacillus-cytophaga* infection a été étendu aux deux dernières décennies du XX^e siècle et au début de l'ère. C'est une cause de cancer et peut également entraîner. Mais au niveau des bactéries les bactéries et les mycètes, les maladies de *Bacillus-cytophaga* infection diffèrent et entraînent des types d'infection. Quelques-unes sont connues dans le tableau de ci-dessous.

Cadmium exposure could cause carcinogenesis and thus an acute environmental
exposure to cadmium is thought to have substantial carcinogenicity at 10-20 percent.
It is also believed that long-term exposure to cadmium may result in the most serious
disease conditions because of its long half-life.

3. 無數的風景，廣泛地分布於整個歐洲大陸。這些風景的特點是：在平原上，森林和草地占據著整個的表面；而在山地和高原上，則是森林和草地的混合體。

de Buda, l'empereur romain et empereur d'Allemagne, qui avait
épousé la princesse de Brandebourg pour lequel il fut nommé comte branden-
bourg au cours de son mariage avec la princesse, et possédait les
terres, la résidence préférée de l'empereur romain et empereur d'Allemagne.

1. Enseignement : les cours, le travail, la lecture et l'écriture des exercices. Ces derniers sont à faire immédiatement au tableau ou sur papier. Il faut que les enfants puissent faire leur travail sans faire attendre les autres.

Sur le plan de l'assaut et de l'attaque, on passe sur les bateaux pour faire un maximum de dégâts sans être chargé puisque les tactes militaires dans cette zone sont conçus pour la guerre de guerre et de guerre par démolition des navires en l'absence des armes militaires. La formation des unités de défense de tout niveau accroît leur efficacité et augmente les risques de destruction.

Ainsi au début, les armes sont préparées dans toutes les zones d'assaut. Ce qui est vrai des armes aussi bien que des dégâts sera à faire dans n'importe quelle situation.

Les armes antiaériennes et anti-aériennes se ferment pas dans n'importe quelles situations mais des armes stratégiques et stratégiques sont les armes utilisées lorsque l'opposition ou l'opposition d'artillerie ou d'armes de défense. L'artillerie est également.

Le fait de la guerre d'assaut ne doit pas être évident pour comprendre.

Assauts de l'ennemi

Il y a lieu de mentionner la nouvelle théorie militaire des armes, celle qui consiste à utiliser l'antenne et la transmission de l'information militaire dans le long ou la courte GM. Ainsi, la première théorie de l'ennemi utilise le long ou court pour communiquer. La deuxième théorie n'est pas utilisée au niveau du bataillon. Mais dans les unités militaires, plusieurs messages sont envoyés dans la direction permettant généralement à la formation d'assaut d'arriver à l'ennemi. Le temps entre l'envoi et l'arrivée de l'ordre de combat est de deux ou trois minutes et il faut que l'ennemi soit dans les environs immédiats pour être assuré de l'assaut.

La dernière théorie qui utilise les forces militaires est celle qui utilise les armes tactiques qui ont une vitesse de 12 km/h et le poids de 10 kg.

La dernière théorie des tactiques est celle qui utilise 100 kg de dégâts et de 100 km/h de vitesse par rapport à la formation de bataillons tactiques sans communication. Deux armes tactiques par laquelle sera attaquée à la fois le camp et l'ennemi.

2.3-GÉOLOGIE GÉOCHIMIQUE DE LA POURTOISIENNE

Le forage n° 180 830/3 place au Nord et au centre de l'île aux îles Brûlées a capté un niveau aquifère de très bonne qualité. Il se situe de profondeur avec $S.S = 31,7m$, $QH = 3,15 \text{ l/s/m}$ et $R.H = 0,83 \text{ g/l}$. Il apparaît qu'en aquifère il est rendu à l'eau au niveau du forage. Le forage n° 180 830/3 place l'eau plus au Sud. Ce dernier a atteint deux niveaux et des gisements de Pourtoisien. Un aquifère moyen ayant une qualité moyenne à bonne à bon accès à partir de 23m avec un $H.S = 0,83 \text{ g/l}$. Ce niveau a été trouvée une nappe de la couche d'argile mésophane de 0,5 à 1,12 g/l. Le deuxième a été dénommé.

Sur l'île aux îles, les aquifères qui ont été rencontrés à ce niveau sont ceux qu'ils s'intercalent dans les deux Pourtoisien-Médiolien des niveaux géologiques et tableau aquifères avec ce moyen : 2,17 l/s/m et une transamination variant entre 0,04 g/l au sondage Soudan n° 180 + 830 830/3 et 1,21 g/l au sondage Soudan n° 180 + 830 830/3.

Plus au Sud, avec le forage Soudan n° 180 + 830 830/3, l'aquifère précédent de cette région se caractérise par un $QH = 3,0 \text{ l/s/m}$ et un $R.H = 1,0 \text{ g/l}$.

Ceux plus au Sud, la bonne qualité de l'eau se maintient avec $R.H = 1,20 \text{ g/l}$ au niveau du sondage Saint-Pierre n° 180 + 830 830/3. Il semble que le débit spécifique reste important.

2.3-GÉOLOGIE GÉOCHIMIQUE DE LA CALLOVIAINE

Cet aquifère est formé par un niveau moyen à moyen, assez, le niveau R.1. Aquifère n° 180 + 830 830/3 a atteint 22,7m d'épaisseur de gisement, de radis, d'argile grise ou blanche avec présence de gypse et de calcaire. La $R.H = 0,7m$, $14 \text{ QH} = 0,21 \text{ l/s/m}$ et le $R.H = 1,18 \text{ g/l}$. A l'est de l'île aux îles, le sondage n° 180 830/3 a atteint parfaitement la même nappe. Le QH atteint de 0,5 à 1,17 l/s/m, mais le R.H augmente aussi et atteint à 1,60 g/l.

2.4-GÉOLOGIE GÉOCHIMIQUE DU BASSIN

Cette nappe est formée par l'unique forage de R.1. Sondage n° 180 830 830/3 qui franchit un aquifère gréseux ayant un $H.S = 1,18 \text{ g/l}$, un $R.H = 0,09 \text{ l/s/m}$ et un $R.S = 0,70 \text{ g/l}$.

INTERPRÉTATION

C'est intéressant au niveau de la nappe Pourtoisien-Médiolien et celle de Calloviaine pour donner quelques indices pour interpréter les données de géologie, géochimie mais peu nombreuses et très mal reparties dans l'espace.

pour avoir une idée au moins préliminaire sur la piézométrie. On attire l'attention à ce propos que l'évaluation d'altitude est faite à partir des cartes topographiques au 1/100.000 et que les données piézométriques disponibles ne correspondent pas à la même date de prélèvement, par conséquent la marge d'erreur pourra être assez large et non négligeable.

Avec les données disponibles, on constate que la piézométrie passe d'un point haut équivalent à + 291m ./. N.G.T à Benada (N° IRR : 12206/5) à un point bas équivalent à + 260m ./. N.G.T au niveau d'El Briga (N° IRI : 19247/5) avec un gradient hydraulique G.H.H de 2,4 %.

Le même raisonnement montre que l'écoulement s'effectue de l'Est vers l'Ouest aux environs de Benada avec un G.H.H de 5 %. Entre Benada et Dehibat, l'écoulement se fait constamment vers le sud-ouest avec G.H.H allant de 1 à 2 %.

En conclusion, il paraît qu'au Nord de Benada, les lignes de courant convergent vers la région d'El Aichouch qui représente l'ouverture de la nappe Purbecko-Waldienne se traduisant par l'existence des sources de trop plein et des puits de très faible niveau statique par rapport au sol.

Au Sud de Benada, l'écoulement de la nappe se fait dans la direction et le sens de pendage des strates. Alors, la zone de Pliocène de Debat s'étendant entre Benada et Dehibat constitue un îleau d'alimentation de la nappe Continental Intercalaire de l'extrême Sud-Tunisien.

4-Hydrochimie

La nappe Barrémienne, se situant à l'extrême Ouest des bassins d'étude, emmagasine une eau de meilleure qualité avec un teneur en sel qui varie entre 1 et 2 g/l. La faible minéralisation de cette eau s'explique par la nature de l'aquifère des sables Barrémiens pour d'une part et par les conditions de recharge d'autre part. (sable à forte perméabilité et accès direct des eaux directement sur les aquifères à recharger).

Quant à la nappe du Purbecko-Waldien, les conditions d'écoulement souterrain et la lithologie des aquifères permettent de distinguer deux zones suivant la géochimie de l'eau.

au Nord de Benada, c'est la zone d'eau chargée avec un solide net de 10,12 g/l au niveau du forage d'El Briga (N° IRR : 19247/5) (lieu de convergence des lignes de courant et aquifères constitués de sables calcaires).

Sept kilomètres plus au Nord le sodium est de 4,32 g/l. Au Sud, vers Pauillac le sodium varie entre 1,20 et 4,45 g/l pour les eaux de mer et les sources de cette région.

Plus au Sud, la région localisée entre Bourg et Sainte-Eulalie où deux aquifères sont attribués au Pothieu-Médocien représente la zone où l'eau est peu chargée. Cette zone se caractérise par une faible teneur en sels et peu d'argiles et pour ce fait et à cause qu'on s'approche du rocher sous-jacent (calcaire calcaire). Ainsi on est dans une zone préférentielle de recharge et en avant de l'écoulement marinier. Ce qui explique la faible minéralisation de l'eau avec un sodium qui varie entre 0,40 et 1,5 g/l.

Pour la Cévenne-Océanique et le Gardonien, l'abondance des roches très calcaires, l'absence d'argiles calcaires et des marécages correspondant entièrement à ces aquifères très salins. Cependant, le déplacement de l'axe vers le Sud entraîne l'amélioration de la qualité minérale de l'eau de ces rivières. Ainsi, le sodium est de 2,78 g/l pour le Gardon à l'aval de Bagnols (km 6192/3) et de 4,45 g/l pour la source Bourg (km 1860 - 6186/1).

3. Conclusion

Besides la région du Pothieu-Médocien au Sud de Béziers et la région des Bessines, se déclinent avec une densité hydrologique à 2 g/l, une absence importante de deux conditions de recharge très courantes. Elles sont susceptibles d'être créées par forage ou puits de puits. Ces deux régions ne sont pas propices aux îles de marée et les caractéristiques des aquifères suscitanter d'écoulements lagunaires.

II. NATURE PHYSIQUE

1. Généralités

Le phénomène et les caractéristiques hydrologiques d'une nappe phréatique sont liés aux deux séries suivantes :

• la présence d'un aquifère assez imperméable ou assez imperméabilisé;

• la présence et la nature de la couche superficielle (tectonique, dolomitique, dolomitite....).

• type d'alimentation et celle de drainage.

L'alimentation s'effectue essentiellement par l'infiltration d'eaux pluviales ou souterraines le long des cours. La quantité d'eau infiltrée dépend de la pluviométrie et des caractéristiques du rocher sous-jacent et des sols superficiels.

L'écoulement et le niveau de la nappe varient et les marées peuvent directement leur faire une contribution importante pour leur niveau.

Ainsi, les aquifères tertiaires du trait du Massif-central-midi constituent la continuation de la nappe du Bassin-Auron-Inferier et l'eau de pluie infiltrée rejoindra directement cette nappe si C.I. fait connaissance. On note pour cette zone l'absence de nappes d'élevation, des quelques puits et sources qui figurent à l'ouest des chaînes résultant des nappes du trou de l'Ago-Décaenais.

Le long des cordes pyrénées-midiennes, les alluvions d'origine humaine sont le plus souvent édifiées et les nappes phréatiques se continuent très souvent sous les couches superficielles assez faciles. Ceci fait que les cours d'eau naissent dans les crevasses des formations rocheuses plus ou moins étendues et leur nappe phréatique se rapproche très vite jusqu'à atteindre des cours. Cette naissance est facilitée par l'assèchement des cours d'eau saisonnier qui donne aux cours d'eau d'origine directe une médiocre profondeur de pénétration dans le socle rocheux et qui par son évacuation peut favoriser la dissolution et les érosions et leur démantèlement progressif. Ces cours d'eau sont assez nombreux au niveau des gorges d'où leurs émissaires sont d'ordinaire

des grilles franchissant les couches calcaires du Calcaire-vésiculaire. Les cours d'eau qui naissent au niveau des formations superficielles des zones des étendues déboisées sont rares. Les nappes sont larges dans les alluvions, les nappes superficielles se drainent le long du talus. Le niveau statique par rapport au sol dépend de leur nature. Ces.

Ces cours d'eau sont le plus souvent délimités dans des dépressions marquées parfois par un fonds rocheux ou par des formations superficielles ou calcaires érodées et démantelées. Ces formations délimitent les nappes de la nappe de la vallée.

4. NAPPE DE L'AGO-DÉCAENAI

4.1. NAPPE D'ÉLEVATION DE L'AGO

Le bassin de l'Ago offre une situation d'un peu éloignée de celle des très profondes, ce qui permet une bonne infiltration élevée de l'eau des pluies et cela donne des cours d'eau courants et réguliers et bons et bons aquifères d'importante capacité.

C'est avec raison que l'on peut dire qu'il existe peu de cours d'eau de moyenne.

2.2-Nappe d'El Oued, d'O. M. El Mekke.

Vers l'aval de l'Oued, on passe de la nappe d'El Mekke qui se trouve dans le remplissage quaternaire avec un faible niveau statique des sources au sol. Des sources de trop plain et des petits cours d'eau sont attachés à cette nappe.

Vers l'amont, la nappe est presque visible. Elle possède de l'eau de bonne qualité mais la profondeur des puits dépend parfois de

seule forme le faible niveau statique à si rebouché. La grande captation de la nappe afflue sur des vastes étendues, ce qui entraîne des pertes importantes par évaporation qui contribuent à la formation d'une nappe ayant une influence négative sur la qualité de l'eau et du sol.

2.3-Nappe d'El Oued, d'O. El Melah.

Les affluents de l'Oued El Melah atteignent les aquifères suivants l'aval à l'Ouest et au Sud-Ouest de Bouzid par le plateau marocain.

A la latitude de Bouzid, ces aquifères sont rattachés par l'érosion ce qui permet l'apparition des sources de trop plain à ce niveau.

A l'est, l'aval de la nappe de Bouzid est normal.

2.4-Nappe d'El Oued, d'O. Mekke.

Il s'agit d'une nappe contenue dans les calcaires marocains et dépendant principalement à partir de l'Oued Mekke. On voit l'aval jusqu'à ce que le N.O. de cette partie à son tour par rapport au sol et la vallée dépend pour certains points jusqu'à 0,6 m).

2.5-Nappe d'El Oued, d'O. Oued Bouzid et d'O. Bouzid.

Ces sont deux petites nappes d'interception. L'Oued Bouzid, Oued Bouzid prend de l'importance à l'est de la falaise calcaire marocaine. L'Oued Bouzid disparaît par exploitation par plusieurs puits.

2.6-Nappe d'El Oued, d'O. Mekke.

A l'est de la chaîne Calcaire Marocaine d'El Mekke, le niveau de l'Oued Oued Bouzid, principal affluent de l'Oued Mekke, avec Oued Tafraou et Oued El Melah disparaît à une vaste étendue d'alluvions isolées et gravierisées sur les scories et les grès du Calcaire découvert par un sol instable de grande stabilité et de trouée. Ces sources correspondent à une nappe à l'aval de cette étendue avec un N.O. allant de -5 à -10 m et qui bénéficie de bonnes conditions de drainage. Mais cette nappe est parfois asséchée à l'exception des deux rives de l'Oued.

A l'Ouest, Oued Oum Doppar alimente une nappe d'Underflow large dans les grès et les sables du Purbecko-Moeldien. La minéralisation de l'eau est inférieure à 2 g/l.

2.7-Nappes d'Oued de Dehibat.

On a regroupé sous ce titre quatre nappes d'Underflow dont celle de l'Oued Dehibat qui est la plus connue et la plus importante.

Placé entre les S.V d'Oued Kaghni et d'Oued Dehibat, le S.V d'Oued Ouni sur lequel règnent les mêmes conditions hydrogéologiques devrait correspondre à une nappe d'Underflow spécifique à cet Oued.

Les nappes d'Oued Beni Guendil et d'Oued El Hamaya sont réduites et d'une importance secondaire.

3-Inventaire des puits d'eau

L'inventaire des puits d'eau réalisé durant les mois de Mars, Avril et Mai 1985 par l'équipe de la DRE de Tataouine a donné un effectif total de 300 puits et 6 sources répartis conformément au tableau suivant :

Entité Hydrogéologique	Nb de total des puits	Nb de puits exploités par		Nb de puits avec travaux en cours	Nb de puits abandonnées
		Motor-pompe	Balou		
Nappe d'Oud d'El Brige	2	-	2	-	-
Nappe d'Oud d'O. Abd. Ennacer	45 1 pce	18 (40 %)	13 (29 %)	9 (20 %)	5 (11 %)
Nappe d'Oud d'O. El M'zab	34 3 pce	15 (44 %)	9 (26 %)	6 (18 %)	4 (12 %)
Nappe d'Oud d'O. Nekrif et région d'El Kharab	22 1 pce	5 (23 %)	7 (32 %)	7 (32 %)	1 (14 %)
Nappes d'Oud d'O. Oum Souigh et d'O. Agharch	20 6 pces	5 (25 %)	8 (40 %)	5 (25 %)	2 (10 %)
Nappe d'Oud. Kaghni	62 1 pce	10 (12 %)	23 (28 %)	11 (28 %)	18 (22 %)
Nappes d'Oud. de Dehibat	90 2 pces	13 (14 %)	21 (24 %)	14 (16 %)	32 (36 %)
Zone des Sébkhas et de Gargatsu	6	-	4	-	2
TOTALS	301 6 pces	66 (22%)	97 (32%)	72 (24%)	66 (22%)

Ces parts sont mal réparties dans l'espace, en effet, le plus haut pourront dépasser de 2 à 3 cm d'ordinaire, dans le partie basse de l'ouverture d'ordinaire jusqu'à ce que l'ouverture soit de 10 mm. Les parties basses de chaque ouverte sont presque vierges alors que l'ouvre y ont de meilleures qualités. C'est toutefois à niveau très peu relativement profond.

Parmi les 100 parties, le pourcentage de deux équipes sont suivants (22 %). Les efforts et les coûts nécessaires sont à comparer avec l'équivalence des parts existantes ou au cours de création. Une bonne partie des parts nécessaires sont à cause de la taille. Quant au pourcentage d'une partie, on a recommandé de faire 15 à équiper et 10 sondages pour vérification des parties de personnes.

4-Plastométrie

Elle est établie à partir de l'ensemble des parties d'après leur pertinence. Pour l'équilibrage des parties plastométriques, nous recommandons d'au moins 5% similité au niveau des ouvertures d'ordinaire et d'ordinaire moyen. Pour les autres parties, on a procédé par approximation et se basant sur les parties correspondantes à l'échelle 1/1000-1000.

D'une façon générale, l'équilibrage s'effectue au 5-10 mm de 10-15 ainsi l'équilibrage des parties plastométriques est essentiellement lié à la composition du cartilage naturel.

Le meilleur équilibrage des parties d'après le moyen de l'ordinaire et de l'ordinaire est entre 4,5 et 5,5 %. Si certaines des parties nécessitent un équilibrage des bouches et de l'ouverture des parties plastométriques.

Pour l'ouverture d'ordinaire moyen, le meilleur équilibrage sera de l'ordre de 5 %. Au niveau de l'ouverture d'ordinaire moyen, il est recommandé que soit 15 départs maximum la valeur de 5,2 %.

5-1-les malformations

Malgré la diversité possibles des parties, on peut préparer une certaine quantité hydrochlorique tenant le niveau des ouvertures plastométriques d'équilibre sur rapport aux caractéristiques des parties des malformations.

Cette quantité se trouve être au moins proportionnelle à l'importance de l'anomalie malformation que se fait de 5-10 mm de 10-15 équivalents à la taille des personnes.

Ainsi, on distingue deux types :

• une anomalie ayant la taille de 10-15 mm de 10-15 équivalents. Dans ce

On fait que les rapports d'insalinité sont toujours dans des milieux conservés peu salinés et dans les milieux d'eau, la salinité de l'eau est inférieure à 3 g/l.

Au sein d'une même zone, le gradient salinique de l'eau se dégrade dans la mesure que celle-ci s'accroît progressivement. Les plus plates et moins rudes eaux ont un R.S. oscillant aux alentours de 1 g/l. Plus à l'est, vers le cours moyen-début, la salinité n'a pas atteint les 2 g/l. Mais en aval, on atteint à 7 g/l.

Le gradient saison à l'est de Rio Verde représente une exception, en effet il devrait correspondre à une saison étanche d'eau qui a moins progressivement accéléré jusqu'à l'assèchement du lit et le recouvrement des cours d'eau.

2.2.2. Insalinité à la frontière calcaro-siliceuse (Zone B)

Les conditions climatiques à proximité de l'infiltation d'eau salinée au niveau des cours d'eau sont créées par l'absence de sources naturelles ou artificielles dans ces cours d'eau. La salinité varie entre 3 à 3 g/l.

Par ailleurs, l'enrichissement entraîné par les eaux salées des sources ou des aquifères proches ou adjacents au calcaire provoquent la présence d'argiles siliceuses et ces dernières salines sont caractérisées par des eaux saumâtres.

2.2.3. Insalinité dans le cours moyen (Zone C)

Cette zone est occupée par un déplacement N.W. - S.E. en dépendance de l'assèchement saisonnier ou transpiration dans l'aval de l'aire de drainage jusqu'à atteindre l'aval du bassin de l'Amazone.

L'assèchement de la plaine amazonnaise lorsqu'il se réalise et après les crues de saison et d'assèchement saisonnier peuvent être le seul cause d'une forte augmentation de salinité dans les cours d'eau. En effet, le drainage des rivières et des cours d'eau dans le bassin de l'Amazone peut se dérouler via diverses voies et canaux artificiels d'autre part permettant d'augmenter la salinité asséchement dans cette zone peuvent également à ce niveau. Ainsi, le cours de l'Amazone (km 3.000) à Mariana do Tucuruí (km 3.100), le 23.000 km de long de l'Amazone (km 3.600) à Pará (km 3.800) et dans le cours moyen (km 3.800) et le 37.000 km à l'aval (km 40.000).

5.2-Composition hydrochimique

Comme on l'a constaté pour les salinités, la qualité hydrochimique se rapproche au niveau de la composition chimique des nappes phréatiques.

Sur le cadre préliminaire de cette étude, on se limite à donner un tableau des traits généraux du comportement géochimique des nappes phréatiques.

5.3.1-Bassin d'oued Boula (Fig. 1)

Les rapports $\frac{\text{Na}^+}{\text{Ca}^{++}}$ et $\frac{\text{Cl}^-}{\text{Na}^+}$ sont bons pour l'échantillon n°284 et insuffisants à 1 pour les autres. Il s'agit donc des deux ensembles distincts et caractérisés par leurs magnitudes.

Les échantillons n°284 et n°160, se situant en avant de l'oued sur la Nécza, montrent des pics en Na⁺ avec forte teneur en ion Cl⁻, ce qui est dû à la nature pétrographique de l'aquifère.

Vers la région d'El Aïn Aïnach, la nappe est libre contenue et très proche de la surface du sol. C'est lorsque la concentration par évaporation, ce phénomène se déroule également par la concentration croissante des chlorures et des sulfates et l'assaisonnement des eaux dans l'eau.

Le bassin d'El Aïn Aïnach correspond à une nappe d'évaporation élevée du bassin d'oued Aïn. En raison par la nature de l'aquifère et la mode d'alimentation élevée pour ce bassin, les eaux se rattachent avec les autres au bassin de nature calcaire au voisinage en forte Cl⁻ et SO₄²⁻ qui ont été extraites par dissolution et qui se rattachent pour l'appréciation du comportement chimique entre l'eau et la roche sous-jacente.

5.3.2-Bassin d'oued El Djedid (Fig. 2) et 3)

Les eaux rapportées précédemment montrent qu'il existe largement et dans toute la hauteur des nappes sulfatées marquées chlorure-sulfatées. Cette famille caractérise les nappes des régions arides avec quelques variations issues de la nature pétrographique des aquifères et de mode d'alimentation de la nappe des nappes.

Un bassin d'oued El Djedid (Fig. 2) le rapport $\frac{\text{Na}^+}{\text{Ca}^{++}}$ passe de 1,4 pour la partie de bassin 2, phréatique à 1,1, puis à 0,71 pour la partie des bassins n°160 et ne varie que 0,51 pour la partie de bassin n°161, et 0,61 pour 1284 peu ou pas faire à augmenter.

L'évolution du rapport $r \text{Mg}^{++}/\text{Ca}^{++}$ indique bien que l'écoulement de la nappe se fait du S.W vers le N.E. L'augmentation du deuxième rapport qui devrait en principe diminuer revient soit aux échanges de base (fixation de Cl^-) puisque le Néocénien s'enrichit en argiles et en sables vers l'est soit à l'accroissement des teneurs en gypse dans l'aquifère suivant la même direction.

La piézométrie aussi bien que la géochimie montrent un découlement du S.W vers le N.E. L'eau se charge progressivement de l'amont vers l'aval.

-Les sources de Remada (Fig.3). Les diagrammes Schoeller montrent des pics en Cl^- , ce qui se justifie par un apport superficiel important alimentant les nappes phréatiques à l'Ouest de Remada.

La parenté chimique des eaux de quatre sources prouvent que ces dernières proviennent de la même nappe.

-Partie moyenne et aval de l'Underflow d'Oued El Melah (Fig.4).

Les échantillons d'eau correspondant aux puits n°171, 178 et 287 appartiennent à la même nappe qui alimente les sources citées précédemment. Le pic en SO_4^{--} pour le puits n°178 revient à l'influence des sables gypseux traversés par forage et éventuellement atteintes par ce puits.

Plus en aval, les puits N°188 et 220 captent une eau sur-salée qui a été soumise à une concentration par évaporation sans toute fois atteindre la saturation car la valeur $(/\text{r } \text{SO}_4^{--})/\text{r } \text{Ca} = 43,6$ est inférieure à 70 valeur de saturation.

5.2.3-Bassin d'Oued Nekrif (Fig.5)

Ce sont les eaux des sables siliceux à faible résidu sec qui subissent la concentration en sels par dissolution pendant leur déplacement du S.W vers le N.E. Ceci est justifié par :

$$-\text{r Cl} > \text{r SO}_4^{--} > \text{r CO}_3^{--} \text{ et } \text{r N}_4 > \text{r Mg} > \text{r Ca}$$

$-\text{r } \frac{\text{Na}}{\text{F}}$ et $\text{r } \frac{\text{Na}}{\text{r Ca}}$ diminuent en allant de puits public Nekrif n°135 au puits public Zelt n°176.

Le puits de Maj Mohamed Thabet n°144 présente une anomalie avec $\text{r CO}_3^{--} > \text{r SO}_4^{--}$. La nature de ce faciès géochimique s'explique par le manque de l'élément sulfate (gypse) dans les sables néocénien.

5.2.4-bassin d'Oued Maghni (Fig. 6,7,8,9,10 et 11)

Pour ce bassin, le nombre de puits est plus important.

-Ce sont des eaux marines de la zone (a) qui se chargent par dissolution (Fig. 4,7).

-Sachant que l'équilibre enregistré par les isotopes :

$\delta \text{Cl} > \delta \text{SO}_4 > \delta \text{CO}_3$ et $\delta \text{Na} > \delta \text{Mg} > \delta \text{Ca}$ d'après une longue série de mesures continues, les puits n°112 et 113, situés en aval de l'industrie de l'Usine Magnétite, n'ont pas encore atteint cet équilibre. Ainsi que pour les puits n°111 et 102 qui se trouvent en aval de la même usine les indicateurs sont parfaitement adaptés.

Le rapport $\frac{\delta \text{Mg}}{\delta \text{Cl}}$ divise et celui $\frac{\delta \text{Na}}{\delta \text{Cl}}$ augmente de l'amont à l'aval, ce qui est également conforme avec le sens d'écoulement souterrain indiqué par la géométrie.

-(Fig.8) Au niveau du lit d'aval, si c'est des eaux marines elles afflueuses. Par ailleur, la concentration par dissolution associe à des eaux sur-salées.

-(Fig.9) et (Fig.10) : Les puits de l'usine Bon Chien n°173 affleurent des eaux très salées (TDS = 264,6 g/l). Il s'agit d'eaux eau marins hyperminéralisées et hypersalinisées appartenant à la famille des eaux marins marines et chlorures calciques. Celle eau qui provient de la dissolution de Gypse à l'aval de l'usine de dissolution à la nappe d'hydrostatique affleurante et connue, de ce fait, une source de dissolution marines.

Les autres diagrammes représentent des eaux à différents stades de dissolution par convection : issues par les trous des fondations ou dissolution partielle des roches et l'aval vers l'aval de la nappe.

-(Fig.11) Les concentrations dissolues affleurent avec peu de var., mais les différences typiques caractérisent ces eaux des sources.

La géométrie et la partie cristalline des eaux perturbent la régularité que la partie marin affichée de l'hydrostatique de l'Usine Magnétite (une certaine) est caractérisée essentiellement par dissolution dans les eaux marins marins de certains de ses îlots de roches.

S.2.5-Bassin d'Usine Magnétite et l'aval de l'aval (Fig. 11 et 12)

Il s'agit des eaux d'hydrostatique ayant la même composition que que précédemment sous des eaux qui se chargent le long de son déplacement, par dissolution sous l'effet de l'hydrostatique et des levées de la nappe qui diffère et hypersalées affleurent en aval.

S. 2-8-PAGE 100 FORMS FOR PRACTICERS. (Fig. 14, 15 & 26)

Dans son étude hydrogéologique préliminaire de l'Ouest québécois, BÉGARD a démontré que dans ce territoire il existe un rapport constant entre la densité des séismes et la concentration totale avec l'irradiation du lithoscaphe par les émissions de l'uranium et de l'uranium.

On présente quel certain classement qui avait été mis en place par deux autres facteurs importants. Il s'agit d'une part de la concentration par dissolution qui se fait dans le sens d'extension horizontale et d'autre part de la synthèse géologique avec des séquelles consécutives au même tableau que à l'Ouest et aux séquelles secondaires et multiples des séquelles consécutives de cette synthèse avec appuis à certains plus ou moins nombreux.

◎一書到底沒有說清楚，這就是「文化」的問題，因為「文化」這個詞

ની વિવિધતાની જીવિતની અભિવ્યક્તિની પ્રાપ્તિ ની જીવિતની અભિવ્યક્તિની લિખાણ કરે +
જો તમે આ વિવિધતાની જીવિતની અભિવ્યક્તિની પ્રાપ્તિ ની જીવિતની અભિવ્યક્તિની લિખાણ
કરો તો તુંહારી જીવિતની અભિવ્યક્તિની પ્રાપ્તિ ની જીવિતની અભિવ્યક્તિની લિખાણ

Il existe à l'intersection des deux mondes capitalistes, où se réfère à la mondialisation et à l'apogée du capitalisme qui se passe sur le plan mondial, une autre forme d'économie et de production d'objets.

第三章 亂世之亂：民變、兵變、政變、財變

- 第二、在政治上，我們要繼續堅持人民民主專政，堅持社會主義道路，堅持無產階級領導，堅持馬列主義、毛澤東思想為指導。在經濟上，我們要繼續堅持公有制為主導，堅持按勞分配原則，堅持社會主義市場經濟體制，堅持對外開放政策。

卷之三

- “我就是个好孩子，我就是个好孩子，我就是个好孩子，我就是个好孩子。”

卷之三

- 23 = 1999 年 4 月 1 日起至 2000 年 3 月 31 日止
24 = 2000 年 4 月 1 日起至 2001 年 3 月 31 日止

$R_1 = L \times I$ avec

$L =$ longueur d'oued et de ses affluents principaux alimentant la nappe d'infiltration.

$I =$ largeur de lit d'oued. Elle peut être réduite à quelques dizaines de mètres dans un cours d'eau assez rapidement pluvial contenant de l'argile.

R_1 correspond à la surface de lit d'oued et directement aux structures de charge de sables et de dépressions linéaires très prononcées évoquées au moment des crues par l'eau de cet oued.

$K_{1,R}$ est sensiblement proche entre 20 et 40%. Pour les bassins de Kéfia et de Dzilbat, ce coefficient est estimé d'après nos connaissances préliminaires des terrains.

LES RÉSULTATS SONT DONNÉS DANS LE TABLEAU suivant:

	i m/jour 10^{-6} m^2	S_1 10^6 m^2	S_2 10^6 m^2	$K_{1,R}$ %	S_4 m/km	T_R mm $10^{-6} \text{ m}^3 / \text{an} (1/4)$	PRODUCTION EXPLOITATIVE $10^6 \text{ t/an} (1/4)$
Medjellid'oued S1_B1328	80	4,30	264	30	3,57	2,6	0
Medjellid'oued Nal. B2_B1328	80	4,05	217	30	3,57	2,6	0,18 (0,11)
Medjellid'oued S1_B1330	75	3,30	170,2	25	0,04	1,1	0,16 (0,11)
Medjellid'oued B13237	75	10,5	236,6	35	7,29	3,2	0,24 (1,3)
Medjellid'oued B13238 et B13239	85	2,74	97,8	0,65	6,91	1,6	0,16 (0,11)
Medjellid'oued B13231	80	3,54	289,4	40	10,32	4,5	0,18 (0,11)
Medjellid'oued B13232	80	9,15	-	0,27	-	0,18 (0,11)	0,31
O. Dzilbat	90	-	131,7	-	15,7	4,08	(16,81)
O. Tafat	85	-	121,9	-	9,46	4,5	-
O. El Haddou	90	-	38	-	122,011	13,51	-
O. Beni Kebel	90	-	24	-	24,91	4,5	-

$$\sum T_R = 1,14 \cdot 10^6 \text{ m}^3 / \text{an} (1/4)$$

Avec des données très aléatoires la loi de Darcy a permis de calculer des ressources exploitables de même ordre de grandeur que celles indiquées sur le tableau.

Enfin, pour une meilleure quantification des ressources, il faut avoir les paramètres hydrodynamiques nécessaires et avec le maximum de précision pour pouvoir par la suite comparer les résultats calculés par différentes méthodes.

4-CONCLUSION

Cette étude préliminaire a permis de mettre en relief les aspects hydrogéologiques généraux des bassins de Ben Aïda et de Dehibat.

Ainsi, il s'agit des régions de l'est-ouest-Sud Tunisien subissant un climat aride avec des tendances continentales.

Les Oueds drainant ces bassins contribuent à la formation de nappes phréatiques peu minéralisées à l'Ouest et salées à l'Est.

Les formations géologiques correspondent à des séries néozéiques, monoclinales, calmes, rabotées par l'érosion et appartenant au flanc Ouest du dôme de la Jellala et à la province centrale de la plate-forme Saharienne. Les séquences sablonneuses et gréseuses de ces séries sont aquifères et ce sont les sables du Néocomien et du Barrémio-Aptien inférieur qui correspondent aux nappes les plus importantes.

Enfin, cette étude hydrogéologique préliminaire et celles antérieures permettent de soulever des questions primordiales pour se faire une meilleure compréhension des aquifères, une quantification plus réaliste des réserves et un programme adéquat d'exploitation des ressources. Quelles sont alors :

- L'extension et la géométrie des nappes phréatiques et des nappes profondes,
- Les relations bilatérales entre nappes phréatiques et nappes profondes,
- L'influence des nappes salées sur celles avoisinantes,
- Les ressources disponibles
- L'éventualité et la part de l'alimentation de la nappe de C.I à partir de ces régions.
- Les meilleures modalités pratiques de recharge et d'exploitation de ces nappes.

Schéma d'étude

L'étude hydrogéologique approfondie des bassins de Kessada et de Dibbat couvrant 2630 km² doit comporter les différentes étapes nécessaires pour répondre aux questions précédemment posées.

3.1-Installation des pluviomètres aux villages suivants : Kessada, Kessou et Machdad Salak.

3.2-Etablissement des télémètres au niveau d'Aswad Dessa, Qoud Dessa, Qoud Harhal et Qoud Dibbat et renforcement de l'émission et d'amplification de la station météorologique de Kessada pour déterminer les variations et les périodes des aquifères.

3.3-Délimitation des zones pouvant sur un certain nombre de jours et des mois se faire de longue date sur les forages pour trouver les paramètres hydrodynamiques des différents aquifères.

3.4-Délimitation des zones et des forages se trouvant sur les bassins pour pouvoir tracer des cartes pédosatellitaires permettant de délimiter les unités entre rivières, calculer les pentes de倾度 de ces rivières, et de déterminer les directions d'écoulement et des gradients hydrologiques.

3.5-Étude géologique au 1/100.000 des bassins de Kessada et de Dibbat. On va servir les photographies et les photos-métalliques pour établir des cartes géologiques à cette échelle.

3.6-Analyse chimique et isotopique des eaux de chaque nappe afin de déterminer les tracés et les caractéristiques physico-chimiques de ces eaux et d'en déduire les intercorrelations entre les séries de données acquises.

3.7-Préparation électrique pour évaluer la conductivité et l'acidité des nappes.

3.8-Établissement de quelques pluviomètres et sondages hydrologiques pour recueillir les taux pluviaux et ainsi le volume d'eau dans toute la surface des aquifères. Ces sondages.

3.9-Etablissement d'un modèle mathématique pour le rang de puissance des bassins appartenant à ces bassins dans le cas où il existe un moyen d'écoulement de la nappe de G.I.

PROJETS EN COURS

- 1- BOURGEOIS, R. : La microélectricité hydraulique, 1^{ère} partie, Etude des possibles, partie hydrologique n°4, C.N.R.S. Fascicule VII, 1967.
- 2- KRETSCH, A. : La planète d'El Quara : Aquifères et potentiel minéral en une zone karstique, D.R.E., Mai 1964.
- 3- Etude hydrogéologique partielle de l'Underflow de l'Oued Beni-Houidet, S.D.E. Mars 1961. Directeur: A. DE KRETSCH, A.
- 4- Carte géologique et hydrogéologique de la Tunisie-C. Feuille de Kairouan et Djebel-Z. A. KRETSCH et G. CHOUQUET
- 5- Etude hydrogéologique partielle de l'Oued Thathou et de l'aval de l'Oued Beni-Houidet, D.R.E. Avril 1964. P. MELLALI et HASSAN ALAMI.
- 6- Aménagement du ruisseau de la ville de Sousse, étude hydrogéologique partielle, S.D.E. Mars 1964. J.-L. TASSIER
- 7- Mise aux épreuves hydrogéologiques de la rivière de Sousse, implantation de sondages. D.R.E. Mars 1964.
- 8- Les eaux souterraines à KOBELCO 1967
- 9- Aménagement des ruisseaux sahariens au sud par les techniques du Sud-Est. du Sud-Ouest et du Sahel. D.R.E. Mars 1970. M. PERCI.

ANNEXES

DIVISION DES RÉSOURCES EN EAU
Services d'hydroélectricité

FORAGE -- SL - RAC 42.

N° 19 H 153371

SITUATION	TRAVERSÉE	CARACTÉRISTIQUES
LATITUDE : 38° 33' - 34"	APPAREIL : Calyx - 120 - 140	N.P. ----- 034/1 - 4,23 -----
LONGITUDE : 6° 01' - 00"	DÉBUT DE FORAGE : 16.75 - 49	DÉBIT M3 / SECONDE
ALTITUDE :	FIN DE FORAGE : 30 - 5 - 50	M.M.
CARTE N° : 86 AU 1/500 000		

ÉTAGES	COTES M.S.N.M.	NATURE DU TERRAIN	STATUT DU PUITS T.M.
	0	Terre végétale	
	2	Galets	
	7	Sable, argile et galets	
	12,5	Argile sable et gravier	
	16,0	Argile marnante - sable	
	17,5	Argile marnante	
	21,0	Argile fissile	
	21,5	Calcaire noir et rouge	
	22	Marnes dures	
	22,5	Sable marnant jaune	
	26,0	Marne calcaire rouge	
	29,5		

DIVISION DES RESSOURCES EN EAU
Service hydrographique

SÉRIE

LEADER

N° 1800 5548/5

LOCALISATION	TOPOGRAPHIE	CARACTÉRISTIQUES
LATITUDE 35° 50' 15"	APPAREIL	AF. Lévee. Hauteur 2,75m. 1 mètre 162-163 = 1
LONGITUDE 8° 34' 00"	DEBUT DE FORAGE 21.8.1952	DEBITS
ALTITUDE 305 mètres	FIN DE FORAGE 2.9.1952	APP
CARTE N° 124 40 140000		

ÉTAGES	COTES M.S.N.M.	NATURE DU TERRAIN	HAUT DU PIEDS F.M.
0		CALCAIRE FONCÉ SUR	
1		COUCHES GRÈSES	
2		ARGILE GRISÂTE	4,75
3		GRÈSE	
4		Gravier grisâtre	
5		MARNES CALCAIREES GRÈSES	
6		MARNES CALCAIREES GRÈSES ET GRÈS	
7		GRÈSE SUR MARNES GRÈSES	
8			
9		MARNES CALCAIREES GRÈSES ET GRÈS	
10			
11		GRÈSE SUR MARNES GRÈSES	
12		MARNES GRÈSES	
13			
14		CALCAIRE GRÈSEUX MARNES DE MARNE	
15			
16		GRÈSE	
17		MARNES GRÈSES	
18			
19		CALCAIRE GRÈSEUX MARNES DE MARNE	
20			
21		GRÈSE	
22		SANDSTONE FERMÉ	
23			
24		MARNES CALCAIREES	
25		GRÈSE JAUNâtre	
26			
27		MARNES CALCAIREES GRÈSES ET GRÈS	
28			
29		MARNES CALCAIREES GRÈSES ET GRÈS	
30			
31		MARNES CALCAIREES GRÈSES ET GRÈS	
32			
33		MARNES CALCAIREES GRÈSES ET GRÈS	
34			
35		MARNES CALCAIREES GRÈSES ET GRÈS	
36			
37		MARNES CALCAIREES GRÈSES ET GRÈS	
38			
39		MARNES CALCAIREES GRÈSES ET GRÈS	
40			
41		MARNES CALCAIREES GRÈSES ET GRÈS	
42			
43		MARNES CALCAIREES GRÈSES ET GRÈS	
44			
45		MARNES CALCAIREES GRÈSES ET GRÈS	
46			
47		MARNES CALCAIREES GRÈSES ET GRÈS	
48			
49		MARNES CALCAIREES GRÈSES ET GRÈS	
50			
51		MARNES CALCAIREES GRÈSES ET GRÈS	
52			
53		MARNES CALCAIREES GRÈSES ET GRÈS	
54			
55		MARNES CALCAIREES GRÈSES ET GRÈS	
56			
57		MARNES CALCAIREES GRÈSES ET GRÈS	
58			
59		MARNES CALCAIREES GRÈSES ET GRÈS	
60			
61		MARNES CALCAIREES GRÈSES ET GRÈS	
62			
63		MARNES CALCAIREES GRÈSES ET GRÈS	
64			
65		MARNES CALCAIREES GRÈSES ET GRÈS	
66			
67		MARNES CALCAIREES GRÈSES ET GRÈS	
68			
69		MARNES CALCAIREES GRÈSES ET GRÈS	
70			
71		MARNES CALCAIREES GRÈSES ET GRÈS	
72			
73		MARNES CALCAIREES GRÈSES ET GRÈS	
74			
75		MARNES CALCAIREES GRÈSES ET GRÈS	
76			
77		MARNES CALCAIREES GRÈSES ET GRÈS	
78			
79		MARNES CALCAIREES GRÈSES ET GRÈS	
80			
81		MARNES CALCAIREES GRÈSES ET GRÈS	
82			
83		MARNES CALCAIREES GRÈSES ET GRÈS	
84			
85		MARNES CALCAIREES GRÈSES ET GRÈS	
86			
87		MARNES CALCAIREES GRÈSES ET GRÈS	
88			
89		MARNES CALCAIREES GRÈSES ET GRÈS	
90			
91		MARNES CALCAIREES GRÈSES ET GRÈS	
92			
93		MARNES CALCAIREES GRÈSES ET GRÈS	
94			
95		MARNES CALCAIREES GRÈSES ET GRÈS	
96			
97		MARNES CALCAIREES GRÈSES ET GRÈS	
98			
99		MARNES CALCAIREES GRÈSES ET GRÈS	
100			
101		MARNES CALCAIREES GRÈSES ET GRÈS	
102			
103		MARNES CALCAIREES GRÈSES ET GRÈS	
104			
105		MARNES CALCAIREES GRÈSES ET GRÈS	
106			
107		MARNES CALCAIREES GRÈSES ET GRÈS	
108			
109		MARNES CALCAIREES GRÈSES ET GRÈS	
110			
111		MARNES CALCAIREES GRÈSES ET GRÈS	
112			
113		MARNES CALCAIREES GRÈSES ET GRÈS	
114			
115		MARNES CALCAIREES GRÈSES ET GRÈS	
116			
117		MARNES CALCAIREES GRÈSES ET GRÈS	
118			
119		MARNES CALCAIREES GRÈSES ET GRÈS	
120			
121		MARNES CALCAIREES GRÈSES ET GRÈS	
122			
123		MARNES CALCAIREES GRÈSES ET GRÈS	
124			
125		MARNES CALCAIREES GRÈSES ET GRÈS	
126			
127		MARNES CALCAIREES GRÈSES ET GRÈS	
128			
129		MARNES CALCAIREES GRÈSES ET GRÈS	
130			
131		MARNES CALCAIREES GRÈSES ET GRÈS	
132			
133		MARNES CALCAIREES GRÈSES ET GRÈS	
134			
135		MARNES CALCAIREES GRÈSES ET GRÈS	
136			
137		MARNES CALCAIREES GRÈSES ET GRÈS	
138			
139		MARNES CALCAIREES GRÈSES ET GRÈS	
140			
141		MARNES CALCAIREES GRÈSES ET GRÈS	
142			
143		MARNES CALCAIREES GRÈSES ET GRÈS	
144			
145		MARNES CALCAIREES GRÈSES ET GRÈS	
146			
147		MARNES CALCAIREES GRÈSES ET GRÈS	
148			
149		MARNES CALCAIREES GRÈSES ET GRÈS	
150			
151		MARNES CALCAIREES GRÈSES ET GRÈS	
152			
153		MARNES CALCAIREES GRÈSES ET GRÈS	
154			
155		MARNES CALCAIREES GRÈSES ET GRÈS	
156			
157		MARNES CALCAIREES GRÈSES ET GRÈS	
158			
159		MARNES CALCAIREES GRÈSES ET GRÈS	
160			
161		MARNES CALCAIREES GRÈSES ET GRÈS	
162			
163		MARNES CALCAIREES GRÈSES ET GRÈS	
164			
165		MARNES CALCAIREES GRÈSES ET GRÈS	
166			
167		MARNES CALCAIREES GRÈSES ET GRÈS	
168			
169		MARNES CALCAIREES GRÈSES ET GRÈS	
170			
171		MARNES CALCAIREES GRÈSES ET GRÈS	
172			
173		MARNES CALCAIREES GRÈSES ET GRÈS	
174			
175		MARNES CALCAIREES GRÈSES ET GRÈS	
176			
177		MARNES CALCAIREES GRÈSES ET GRÈS	
178			
179		MARNES CALCAIREES GRÈSES ET GRÈS	
180			
181		MARNES CALCAIREES GRÈSES ET GRÈS	
182			
183		MARNES CALCAIREES GRÈSES ET GRÈS	
184			
185		MARNES CALCAIREES GRÈSES ET GRÈS	
186			
187		MARNES CALCAIREES GRÈSES ET GRÈS	
188			
189		MARNES CALCAIREES GRÈSES ET GRÈS	
190			
191		MARNES CALCAIREES GRÈSES ET GRÈS	
192			
193		MARNES CALCAIREES GRÈSES ET GRÈS	
194			
195		MARNES CALCAIREES GRÈSES ET GRÈS	
196			
197		MARNES CALCAIREES GRÈSES ET GRÈS	
198			
199		MARNES CALCAIREES GRÈSES ET GRÈS	
200			
201		MARNES CALCAIREES GRÈSES ET GRÈS	
202			
203		MARNES CALCAIREES GRÈSES ET GRÈS	
204			
205		MARNES CALCAIREES GRÈSES ET GRÈS	
206			
207		MARNES CALCAIREES GRÈSES ET GRÈS	
208			
209		MARNES CALCAIREES GRÈSES ET GRÈS	
210			
211		MARNES CALCAIREES GRÈSES ET GRÈS	
212			
213		MARNES CALCAIREES GRÈSES ET GRÈS	
214			
215		MARNES CALCAIREES GRÈSES ET GRÈS	
216			
217		MARNES CALCAIREES GRÈSES ET GRÈS	
218			
219		MARNES CALCAIREES GRÈSES ET GRÈS	
220			
221		MARNES CALCAIREES GRÈSES ET GRÈS	
222			
223		MARNES CALCAIREES GRÈSES ET GRÈS	
224			
225		MARNES CALCAIREES GRÈSES ET GRÈS	
226			
227		MARNES CALCAIREES GRÈSES ET GRÈS	
228			
229		MARNES CALCAIREES GRÈSES ET GRÈS	
230			
231		MARNES CALCAIREES GRÈSES ET GRÈS	
232			
233		MARNES CALCAIREES GRÈSES ET GRÈS	
234			
235		MARNES CALCAIREES GRÈSES ET GRÈS	
236			
237		MARNES CALCAIREES GRÈSES ET GRÈS	
238			
239		MARNES CALCAIREES GRÈSES ET GRÈS	
240			
241		MARNES CALCAIREES GRÈSES ET GRÈS	
242			
243		MARNES CALCAIREES GRÈSES ET GRÈS	
244			
245		MARNES CALCAIREES GRÈSES ET GRÈS	
246			
247		MARNES CALCAIREES GRÈSES ET GRÈS	
248			
249		MARNES CALCAIREES GRÈSES ET GRÈS	
250			
251		MARNES CALCAIREES GRÈSES ET GRÈS	
252			
253		MARNES CALCAIREES GRÈSES ET GRÈS	
254			
255		MARNES CALCAIREES GRÈSES ET GRÈS	
256			
257		MARNES CALCAIREES GRÈSES ET GRÈS	
258			
259		MARNES CALCAIREES GRÈSES ET GRÈS	
260			
261		MARNES CALCAIREES GRÈSES ET GRÈS	
262			
263		MARNES CALCAIREES GRÈSES ET GRÈS	
264			
265		MARNES CALCAIREES GRÈSES ET GRÈS	
266			
267		MARNES CALCAIREES GRÈSES ET GRÈS	
268			
269		MARNES CALCAIREES GRÈSES ET GRÈS	
270			
271		MARNES CALCAIREES GRÈSES ET GRÈS	
272			
273		MARNES CALCAIREES GRÈSES ET GRÈS	
274			
275		MARNES CALCAIREES GRÈSES ET GRÈS	
276			
277		MARNES CALCAIREES GRÈSES ET GRÈS	
278			
279		MARNES CALCAIREES GRÈSES ET GRÈS	
280			
281		MARNES CALCAIREES GRÈSES ET GRÈS	
282			
283		MARNES CALCAIREES GRÈSES ET GRÈS	
284			
285		MARNES CALCAIREES GRÈSES ET GRÈS	
286		</td	

Division 283 presented the case
before a hearing panel.

卷之三

卷之三

SITUATION	ÉTAPE	CARACTÉRISTIQUES
ARRIVAGE 25° 57' 47"	DÉPART D'ARRIVAGE A BORDAGE (11.12)	N° 442802.34 0001 2.74
DEBUT DE VOLAGE 3° 33' 40"	DÉBUT DE VOLAGE	DÉBUT 4.74
ARRIVAGE 300 MÈTRES (100)	FIN DE VOLAGE JOUR 1991	3.6 3.47
ARRIVAGE 3° 33' 40"		

三、本办法所称的“重大事项”是指：（一）公司经营方针和经营范围的重大变化；

本局于年月日，因事由向贵公司提出申请，现将有关情况说明如下：

10. The following table shows the number of hours worked by each employee.

卷之三

卷之三

10. The following table shows the number of hours worked by each employee.

1000 1000 1000 1000 1000 1000 1000 1000

ANSWER *It is not possible to determine the exact number of atoms in a mole.*

DIVISION DES RESSOURCES EN EAU
Services hydroénergétiques

SONDAGE - REMADA - N°1

N° I.R.H. : 579475

SITUATION	TRAVAIL	CARACTÉRISTIQUES
LATITUDE : 33° 30' 10"	APPAREIL FORAYANT à DÉTERRER "Dame Esperance"	NP : -10,3 m TSF 45,6 m 3,100
LONGITUDE : 60° 36' 00"	DÉBUT DE FORAGE : 14 - 5 - 68.	DEBIT H.P. 1,6 L/S 1,03 Q.F. 0,3
ALTITUDE : +335 m (environ)	FIN DE FORAGE 18 - 3 - 68	PH 7,86 T.S. 8,00 T.S.S. 1,55
CARTE N° : 124 AU 1:100,000		

ÉTALES	COTES DE N.D.	NATURE DU TERRAIN	ETAT DU PUITS T.A.F.
0	0,00	Calcaire dur	0,00
3,5	3,50	Gres des sables	Tube plein
5,0	5,00	XARRE 100% 2/3	- 10,7 m
10	10,00	Calcaire	Gravier
15	15,00	Gypse	- 14,85 m
18	18,00	Calcaire assez dur	Crepine à pénétrante
19	19,00	XARRE 100% 2/3	- 20,85 m
21	21,00	Calcaire dur	
		Marnes très compacte	Marnes
34	34,00	Calcaire dur	
37	37,00	Marnes calcaires très compacte	30 m Fin de pénétrance
50	50,00		Analyses chimiques ENIGNEERIE S.A. 1976 Ca : 372 mg/l Mg : 122 mg/l Na : 672 mg/l Cl : 1030 mg/l SO4 : 890 mg/l HCO3 : 85 mg/l RS : 3200 mg/l

DIVISION DES MÉTIERS DANS LE SERVITUDE D'EXPLOITATION		SERVITUDE QUED OUM ZAGGAR	
		N° N° 0549 / 5	
LATITUDE	LONGITUDE	PRÉFACE	LEADER OF THE EXPLOITATION
16° 59' 30"	49° 27' 14"	CHAPPEL LÉONIE 12/5/1968	M. P. FOUAD
16° 59' 30"	49° 27' 14"	DEPART DE FORÊT 12.3.1968	CHAPPEL LÉONIE
16° 59' 30"	49° 27' 14"	FIN DE FORÊT 16.10.1968	DEPART DE FORÊT
1400 m 102.3	40000000	DATE	INTERVALLE
ÉTAGES	HAUTEUR	NATURE DU TERRAIN	ETAT DU FORET
0	0	Sabots	
10	10	Argile avec galets	
20	20	5m Brûlure	
30	30	Marne riche en silex	
40	40	terre de culture	
50	50	Marne rouge très parsemée de grès	Terre d'argile riche en silex
60	60	terre	
70	70	Argile calcaire	
80	80	Marne riche en grès	
90	90	terre	
100	100	Argile calcaire	
110	110	Marne riche en silex et grès	
120	120	terre	
130	130	Argile avec silex et grès	
140	140	Argile rouge	
150	150	Argile calcaire et galets	
160	160	Calcaire rouge	
170	170	argile et marne	
180	180	5m Calcaire marne et grès	
190	190	5m Marne	
200	200	5m Lame	
210	210	5m Marne	
220	220	5m Grès	
230	230	5m Marne	
240	240	5m Calcaire	
250	250	5m Marne	

CONTROLE DES RESOURCES EN EAU

10-05624 - REMA 6A

• 132 • 第2007年

SITUATION	TRAVERSÉE	COORDONNÉES
LATITUDE : 32° 30' 53"	ARRONDISSEMENT : 1504 N° 3	W : 218.20000000000002, 120.344
LONGITUDE : 4° 32' 10"	SÉGMENT DE TRAVERSÉE : 3 - 2 - 1 1362	E : 347.00 12.0 1.32
ALTITUDE :	EN DE TRAVERSÉE : 4.22 + 8.2 1363	z : 0.34 0.24
CARTE N° : 124	BY : 1:100,000	

BRUNSWICK RECORDS INC. 240

卷之三

八五解卦

卷之三十一 8.2 記者稿

SATELLITE			ORBIT			COSMIC RADIATION		
NAME	PERIOD	INCLINATION	PERIOD	APPROX. ALT.	PERIOD	APPROX. ALT.	APPROX. ALT.	
WINDSOE	90'	28°	100'	4000 KM	100'	4000 KM	10000 KM	
LONGITUDE	23°	43'	40'	20000 KM	20000 KM	20000 KM	20000 KM	
ALTITUDE	20000 KM	20000 KM	20000 KM	20000 KM	20000 KM	20000 KM	20000 KM	
PERIOD	358	402	35800 KM	40000 KM	35800 KM	40000 KM	40000 KM	

REVISION DES RESSOURCES EN EAU
SOUTHERN MONTAGNAIS

SOUTHERN MONTAGNAIS

W-90 8803/5

LOCALISATION	ÉTAT	VOLUME
LATITUDE 35° 40' 30"	ESTUARIE APPARENTEMENT DE MAREAGE	4.7 11,100,000,000 m ³
LONGITUDE 97° 28' 00"	DEBUT DE COULEUR 20. 1. 1987	DEBIT 0.6 4.07 3.8
HAUTEUR	EN DE TERRAIN 13. 6. 1987	0.5 16.07 12.21
CARTE N° 252	N° 11900-000	

STATIONS	CODES	NATURE DU FONCTION	ÉTAT DU PUIT
1		CRATE ROUGE TRES DRY	DRY
2		CRATE ROUGE APPAREIL	DRY
3		CRATE ROUGE SUR MAREAGE	DRY
4		CRATE ROUGE	DRY
5		ANGLE DROIT CRATE ROUGE	DRY
6		ANGLE DROIT CRATE ROUGE	DRY
7		ANGLE DROIT CRATE ROUGE	DRY
8		CRATE ROUGE	DRY
9		EXTRÉMEMENT DRY	DRY
10		CRATE ROUGE	DRY
11		CRATE ROUGE	DRY
12		CRATE ROUGE	DRY
13		CRATE ROUGE	DRY
14		CRATE ROUGE	DRY
15		CRATE ROUGE	DRY
16		CRATE ROUGE	DRY
17		CRATE ROUGE	DRY
18		CRATE ROUGE	DRY
19		CRATE ROUGE	DRY
20		CRATE ROUGE	DRY
21		CRATE ROUGE	DRY
22		CRATE ROUGE	DRY
23		CRATE ROUGE	DRY
24		CRATE ROUGE	DRY
25		CRATE ROUGE	DRY
26		CRATE ROUGE	DRY
27		CRATE ROUGE	DRY
28		CRATE ROUGE	DRY
29		CRATE ROUGE	DRY
30		CRATE ROUGE	DRY
31		CRATE ROUGE	DRY
32		CRATE ROUGE	DRY
33		CRATE ROUGE	DRY
34		CRATE ROUGE	DRY
35		CRATE ROUGE	DRY
36		CRATE ROUGE	DRY
37		CRATE ROUGE	DRY
38		CRATE ROUGE	DRY
39		CRATE ROUGE	DRY
40		CRATE ROUGE	DRY
41		CRATE ROUGE	DRY
42		CRATE ROUGE	DRY
43		CRATE ROUGE	DRY
44		CRATE ROUGE	DRY
45		CRATE ROUGE	DRY
46		CRATE ROUGE	DRY
47		CRATE ROUGE	DRY
48		CRATE ROUGE	DRY
49		CRATE ROUGE	DRY
50		CRATE ROUGE	DRY
51		CRATE ROUGE	DRY
52		CRATE ROUGE	DRY
53		CRATE ROUGE	DRY
54		CRATE ROUGE	DRY
55		CRATE ROUGE	DRY
56		CRATE ROUGE	DRY
57		CRATE ROUGE	DRY
58		CRATE ROUGE	DRY
59		CRATE ROUGE	DRY
60		CRATE ROUGE	DRY
61		CRATE ROUGE	DRY
62		CRATE ROUGE	DRY
63		CRATE ROUGE	DRY
64		CRATE ROUGE	DRY
65		CRATE ROUGE	DRY
66		CRATE ROUGE	DRY
67		CRATE ROUGE	DRY
68		CRATE ROUGE	DRY
69		CRATE ROUGE	DRY
70		CRATE ROUGE	DRY
71		CRATE ROUGE	DRY
72		CRATE ROUGE	DRY
73		CRATE ROUGE	DRY
74		CRATE ROUGE	DRY
75		CRATE ROUGE	DRY
76		CRATE ROUGE	DRY
77		CRATE ROUGE	DRY
78		CRATE ROUGE	DRY
79		CRATE ROUGE	DRY
80		CRATE ROUGE	DRY
81		CRATE ROUGE	DRY
82		CRATE ROUGE	DRY
83		CRATE ROUGE	DRY
84		CRATE ROUGE	DRY
85		CRATE ROUGE	DRY
86		CRATE ROUGE	DRY
87		CRATE ROUGE	DRY
88		CRATE ROUGE	DRY
89		CRATE ROUGE	DRY
90		CRATE ROUGE	DRY
91		CRATE ROUGE	DRY
92		CRATE ROUGE	DRY
93		CRATE ROUGE	DRY
94		CRATE ROUGE	DRY
95		CRATE ROUGE	DRY
96		CRATE ROUGE	DRY
97		CRATE ROUGE	DRY
98		CRATE ROUGE	DRY
99		CRATE ROUGE	DRY
100		CRATE ROUGE	DRY
101		CRATE ROUGE	DRY
102		CRATE ROUGE	DRY
103		CRATE ROUGE	DRY
104		CRATE ROUGE	DRY
105		CRATE ROUGE	DRY
106		CRATE ROUGE	DRY
107		CRATE ROUGE	DRY
108		CRATE ROUGE	DRY
109		CRATE ROUGE	DRY
110		CRATE ROUGE	DRY
111		CRATE ROUGE	DRY
112		CRATE ROUGE	DRY
113		CRATE ROUGE	DRY
114		CRATE ROUGE	DRY
115		CRATE ROUGE	DRY
116		CRATE ROUGE	DRY
117		CRATE ROUGE	DRY
118		CRATE ROUGE	DRY
119		CRATE ROUGE	DRY
120		CRATE ROUGE	DRY
121		CRATE ROUGE	DRY
122		CRATE ROUGE	DRY
123		CRATE ROUGE	DRY
124		CRATE ROUGE	DRY
125		CRATE ROUGE	DRY
126		CRATE ROUGE	DRY
127		CRATE ROUGE	DRY
128		CRATE ROUGE	DRY
129		CRATE ROUGE	DRY
130		CRATE ROUGE	DRY
131		CRATE ROUGE	DRY
132		CRATE ROUGE	DRY
133		CRATE ROUGE	DRY
134		CRATE ROUGE	DRY
135		CRATE ROUGE	DRY
136		CRATE ROUGE	DRY
137		CRATE ROUGE	DRY
138		CRATE ROUGE	DRY
139		CRATE ROUGE	DRY
140		CRATE ROUGE	DRY
141		CRATE ROUGE	DRY
142		CRATE ROUGE	DRY
143		CRATE ROUGE	DRY
144		CRATE ROUGE	DRY
145		CRATE ROUGE	DRY
146		CRATE ROUGE	DRY
147		CRATE ROUGE	DRY
148		CRATE ROUGE	DRY
149		CRATE ROUGE	DRY
150		CRATE ROUGE	DRY
151		CRATE ROUGE	DRY
152		CRATE ROUGE	DRY
153		CRATE ROUGE	DRY
154		CRATE ROUGE	DRY
155		CRATE ROUGE	DRY
156		CRATE ROUGE	DRY
157		CRATE ROUGE	DRY
158		CRATE ROUGE	DRY
159		CRATE ROUGE	DRY
160		CRATE ROUGE	DRY
161		CRATE ROUGE	DRY
162		CRATE ROUGE	DRY
163		CRATE ROUGE	DRY
164		CRATE ROUGE	DRY
165		CRATE ROUGE	DRY
166		CRATE ROUGE	DRY
167		CRATE ROUGE	DRY
168		CRATE ROUGE	DRY
169		CRATE ROUGE	DRY
170		CRATE ROUGE	DRY
171		CRATE ROUGE	DRY
172		CRATE ROUGE	DRY
173		CRATE ROUGE	DRY
174		CRATE ROUGE	DRY
175		CRATE ROUGE	DRY
176		CRATE ROUGE	DRY
177		CRATE ROUGE	DRY
178		CRATE ROUGE	DRY
179		CRATE ROUGE	DRY
180		CRATE ROUGE	DRY
181		CRATE ROUGE	DRY
182		CRATE ROUGE	DRY
183		CRATE ROUGE	DRY
184		CRATE ROUGE	DRY
185		CRATE ROUGE	DRY
186		CRATE ROUGE	DRY
187		CRATE ROUGE	DRY
188		CRATE ROUGE	DRY
189		CRATE ROUGE	DRY
190		CRATE ROUGE	DRY
191		CRATE ROUGE	DRY
192		CRATE ROUGE	DRY
193		CRATE ROUGE	DRY
194		CRATE ROUGE	DRY
195		CRATE ROUGE	DRY
196		CRATE ROUGE	DRY
197		CRATE ROUGE	DRY
198		CRATE ROUGE	DRY
199		CRATE ROUGE	DRY
200		CRATE ROUGE	DRY
201		CRATE ROUGE	DRY
202		CRATE ROUGE	DRY
203		CRATE ROUGE	DRY
204		CRATE ROUGE	DRY
205		CRATE ROUGE	DRY
206		CRATE ROUGE	DRY
207		CRATE ROUGE	DRY
208		CRATE ROUGE	DRY
209		CRATE ROUGE	DRY
210		CRATE ROUGE	DRY
211		CRATE ROUGE	DRY
212		CRATE ROUGE	DRY
213		CRATE ROUGE	DRY
214		CRATE ROUGE	DRY
215		CRATE ROUGE	DRY
216		CRATE ROUGE	DRY
217		CRATE ROUGE	DRY
218		CRATE ROUGE	DRY
219		CRATE ROUGE	DRY
220		CRATE ROUGE	DRY
221		CRATE ROUGE	DRY
222		CRATE ROUGE	DRY
223		CRATE ROUGE	DRY
224		CRATE ROUGE	DRY
225		CRATE ROUGE	DRY
226		CRATE ROUGE	DRY
227		CRATE ROUGE	DRY
228		CRATE ROUGE	DRY
229		CRATE ROUGE	DRY
230		CRATE ROUGE	DRY
231		CRATE ROUGE	DRY
232		CRATE ROUGE	DRY
233		CRATE ROUGE	DRY
234		CRATE ROUGE	DRY
235		CRATE ROUGE	DRY
236		CRATE ROUGE	DRY
237		CRATE ROUGE	DRY
238		CRATE ROUGE	DRY
239		CRATE ROUGE	DRY
240		CRATE ROUGE	DRY
241		CRATE ROUGE	DRY
242		CRATE ROUGE	DRY
243		CRATE ROUGE	DRY
244		CRATE ROUGE	DRY
245		CRATE ROUGE	DRY
246		CRATE ROUGE	DRY
247		CRATE ROUGE	DRY
248		CRATE ROUGE	DRY
249		CRATE ROUGE	DRY
250		CRATE ROUGE	DRY
251		CRATE ROUGE	DRY
252		CRATE ROUGE	DRY
253		CRATE ROUGE	DRY
254		CRATE ROUGE	DRY
255		CRATE ROUGE	DRY
256		CRATE ROUGE	DRY
257		CRATE ROUGE	DRY
258		CRATE ROUGE	DRY
259		CRATE ROUGE	DRY
260		CRATE ROUGE	DRY
261		CRATE ROUGE	DRY
262		CRATE ROUGE	DRY
263		CRATE ROUGE	DRY
264		CRATE ROUGE	DRY
265		CRATE ROUGE	DRY
266		CRATE ROUGE	DRY
267		CRATE ROUGE	DRY
268		CRATE ROUGE	DRY
269		CRATE ROUGE	DRY
270		CRATE ROUGE	DRY
271		CRATE ROUGE	DRY
272		CRATE ROUGE	DRY
273		CRATE ROUGE	DRY
274		CRATE ROUGE	DRY
275		CRATE ROUGE	DRY
276		CRATE ROUGE	DRY
277		CRATE ROUGE	DRY
278			

TABLEAU XXXVII. — LES PÉTROCHIMIQUES
DU BRÉSIL EN 1910.

N° L'ordre.	Type de produit.	Nom et qualité particulière	Nom du producteur	Milliers de litres						CPA P. 11	CPA P. 12
				CA 1907	CA 1908	CA 1909	CA 1910	CA 1911	CA 1912		
173	22.04.81	7.7.2.1.1.1.1.1.1.1.		270	79	471	112	674	204	3669	4027
174	12.04.81	7.7.2.1.1.1.1.1.1.		350	244	652	462	532	530	820	788
175	12.04.81	7.7.2.1.1.1.1.1.1.		594	141	326	29	161	139	3780	3749
176	12.04.81	7.7.2.1.1.1.1.1.1.		176	165	575	102	864	115	2180	2138
177	12.04.81	7.7.2.1.1.1.1.1.1.		194	138	419	29	682	175	2560	2517
178	12.04.81	7.7.2.1.1.1.1.1.1.		174	173	117	18	173	175	360	355
179	12.04.81	7.7.2.1.1.1.1.1.1.		144	46	203	20	143	333	4470	2056
180	2.04.81	6.1.2.1.1.1.1.1.1.		261	123	377	31	123	175	320	372
181	2.04.81	7.7.2.1.1.1.1.1.1.		136	80	283	20	437	568	1303	2144
182	2.04.81	7.7.2.1.1.1.1.1.1.		392	111	325	51	641	635	250	2420
183	2.04.81	7.7.2.1.1.1.1.1.1.		162	94	271	22	534	524	101	1780
184	22.04.81	7.7.2.1.1.1.1.1.1.		263	92	418	27	624	617	2850	2796
185	22.04.81	7.7.2.1.1.1.1.1.1.		260	247	1020	43	1622	1580	2168	2120
186	22.04.81	7.7.2.1.1.1.1.1.1.		472	265	1156	64	1648	1655	352	3507
187	22.04.81	7.7.2.1.1.1.1.1.1.		82	126	1324	25	138	110	1780	2279
188	22.04.81	7.7.2.1.1.1.1.1.1.		92	72	286	16	219	111	2860	427
189	22.04.81	7.7.2.1.1.1.1.1.1.		177	135	132	11	132	122	352	352
190	22.04.81	7.7.2.1.1.1.1.1.1.		240	994	626	24	1104	104	3650	3775
191	22.04.81	7.7.2.1.1.1.1.1.1.		236	941	626	24	1104	104	3650	3775
192	2.04.81	7.7.2.1.1.1.1.1.1.		268	97	192	11	122	122	3420	3461
193	2.04.81	7.7.2.1.1.1.1.1.1.		593	106	136	45	138	138	2160	2160
194	2.04.81	7.7.2.1.1.1.1.1.1.		773	121	125	75	134	134	2160	2160
195	2.04.81	7.7.2.1.1.1.1.1.1.		156	110	425	24	95	95	1687	1687
196	2.04.81	7.7.2.1.1.1.1.1.1.		260	118	118	61	876	145	2650	2650
197	2.04.81	7.7.2.1.1.1.1.1.1.		764	117	117	62	876	145	2650	2650
198	2.04.81	7.7.2.1.1.1.1.1.1.		242	116	116	62	876	145	2650	2650
199	2.04.81	7.7.2.1.1.1.1.1.1.		72	74	74	62	864	135	2740	2740
200	2.04.81	7.7.2.1.1.1.1.1.1.		702	65	152	73	234	234	2860	2860
201	2.04.81	7.7.2.1.1.1.1.1.1.		300	77	187	37	285	285	2860	2860
202	2.04.81	7.7.2.1.1.1.1.1.1.		175	174	174	17	174	174	3740	3740
203	2.04.81	7.7.2.1.1.1.1.1.1.		252	174	174	17	174	174	3740	3740
204	2.04.81	7.7.2.1.1.1.1.1.1.		252	174	174	17	174	174	3740	3740
205	2.04.81	7.7.2.1.1.1.1.1.1.		252	174	174	17	174	174	3740	3740
206	2.04.81	7.7.2.1.1.1.1.1.1.		252	174	174	17	174	174	3740	3740
207	2.04.81	7.7.2.1.1.1.1.1.1.		252	174	174	17	174	174	3740	3740
208	2.04.81	7.7.2.1.1.1.1.1.1.		252	174	174	17	174	174	3740	3740
209	2.04.81	7.7.2.1.1.1.1.1.1.		252	174	174	17	174	174	3740	3740
210	2.04.81	7.7.2.1.1.1.1.1.1.		252	174	174	17	174	174	3740	3740
211	2.04.81	7.7.2.1.1.1.1.1.1.		252	174	174	17	174	174	3740	3740
212	2.04.81	7.7.2.1.1.1.1.1.1.		252	174	174	17	174	174	3740	3740
213	2.04.81	7.7.2.1.1.1.1.1.1.		252	174	174	17	174	174	3740	3740
214	2.04.81	7.7.2.1.1.1.1.1.1.		252	174	174	17	174	174	3740	3740
215	2.04.81	7.7.2.1.1.1.1.1.1.		252	174	174	17	174	174	3740	3740
216	2.04.81	7.7.2.1.1.1.1.1.1.		252	174	174	17	174	174	3740	3740
217	2.04.81	7.7.2.1.1.1.1.1.1.		252	174	174	17	174	174	3740	3740
218	2.04.81	7.7.2.1.1.1.1.1.1.		252	174	174	17	174	174	3740	3740
219	2.04.81	7.7.2.1.1.1.1.1.1.		252	174	174	17	174	174	3740	3740
220	2.04.81	7.7.2.1.1.1.1.1.1.		252	174	174	17	174	174	3740	3740
221	2.04.81	7.7.2.1.1.1.1.1.1.		252	174	174	17	174	174	3740	3740
222	2.04.81	7.7.2.1.1.1.1.1.1.		252	174	174	17	174	174	3740	3740
223	2.04.81	7.7.2.1.1.1.1.1.1.		252	174	174	17	174	174	3740	3740
224	2.04.81	7.7.2.1.1.1.1.1.1.		252	174	174	17	174	174	3740	3740
225	2.04.81	7.7.2.1.1.1.1.1.1.		252	174	174	17	174	174	3740	3740
226	2.04.81	7.7.2.1.1.1.1.1.1.		252	174	174	17	174	174	3740	3740
227	2.04.81	7.7.2.1.1.1.1.1.1.		252	174	174	17	174	174	3740	3740
228	2.04.81	7.7.2.1.1.1.1.1.1.		252	174	174	17	174	174	3740	3740
229	2.04.81	7.7.2.1.1.1.1.1.1.		252	174	174	17	174	174	3740	3740
230	2.04.81	7.7.2.1.1.1.1.1.1.		252	174	174	17	174	174	3740	3740
231	2.04.81	7.7.2.1.1.1.1.1.1.		252	174	174	17	174	174	3740	3740
232	2.04.81	7.7.2.1.1.1.1.1.1.		252	174	174	17	174	174	3740	3740
233	2.04.81	7.7.2.1.1.1.1.1.1.		252	174	174	17	174	174	3740	3740
234	2.04.81	7.7.2.1.1.1.1.1.1.		252	174	174	17	174	174	3740	3740
235	2.04.81	7.7.2.1.1.1.1.1.1.		252	174	174	17	174	174	3740	3740
236	2.04.81	7.7.2.1.1.1.1.1.1.		252	174	174	17	174	174	3740	3740
237	2.04.81	7.7.2.1.1.1.1.1.1.		252	174	174	17	174	174	3740	3740
238	2.04.81	7.7.2.1.1.1.1.1.1.		252	174	174	17	174	174	3740	3740
239	2.04.81	7.7.2.1.1.1.1.1.1.		252	174	174	17	174	174	3740	3740
240	2.04.81	7.7.2.1.1.1.1.1.1.		252	174	174	17	174	174	3740	3740
241	2.04.81	7.7.2.1.1.1.1.1.1.		252	174	174	17	174	174	3740	3740
242	2.04.81	7.7.2.1.1.1.1.1.1.		252	174	174	17	174	174	3740	3740
243	2.04.81	7.7.2.1.1.1.1.1.1.		252	174	174	17	174	174	3740	3740
244	2.04.81	7.7.2.1.1.1.1.1.1.		252	174	174	17	174	174	3740	3740
245	2.04.81	7.7.2.1.1.1.1.1.1.		252	174	174	17	174	174	3740	3740
246	2.04.81	7.7.2.1.1.1.1.1.1.		252	174	174	17	174	174	3740	3740
247	2.04.81	7.7.2.1.1.1.1.1.1.		252	174	174	17	174	174	3740	3740
248	2.04.81	7.7.2.1.1.1.1.1.1.		252	174	174	17	174	174	3740	3740
249	2.04.81	7.7.2.1.1.1.1.1.1.		252	174	174	17	174	174	3740	3740
250	2.04.81	7.7.2.1.1.1.1.1.1.		252	174	174	17	17			

1940-1941

1940-1941

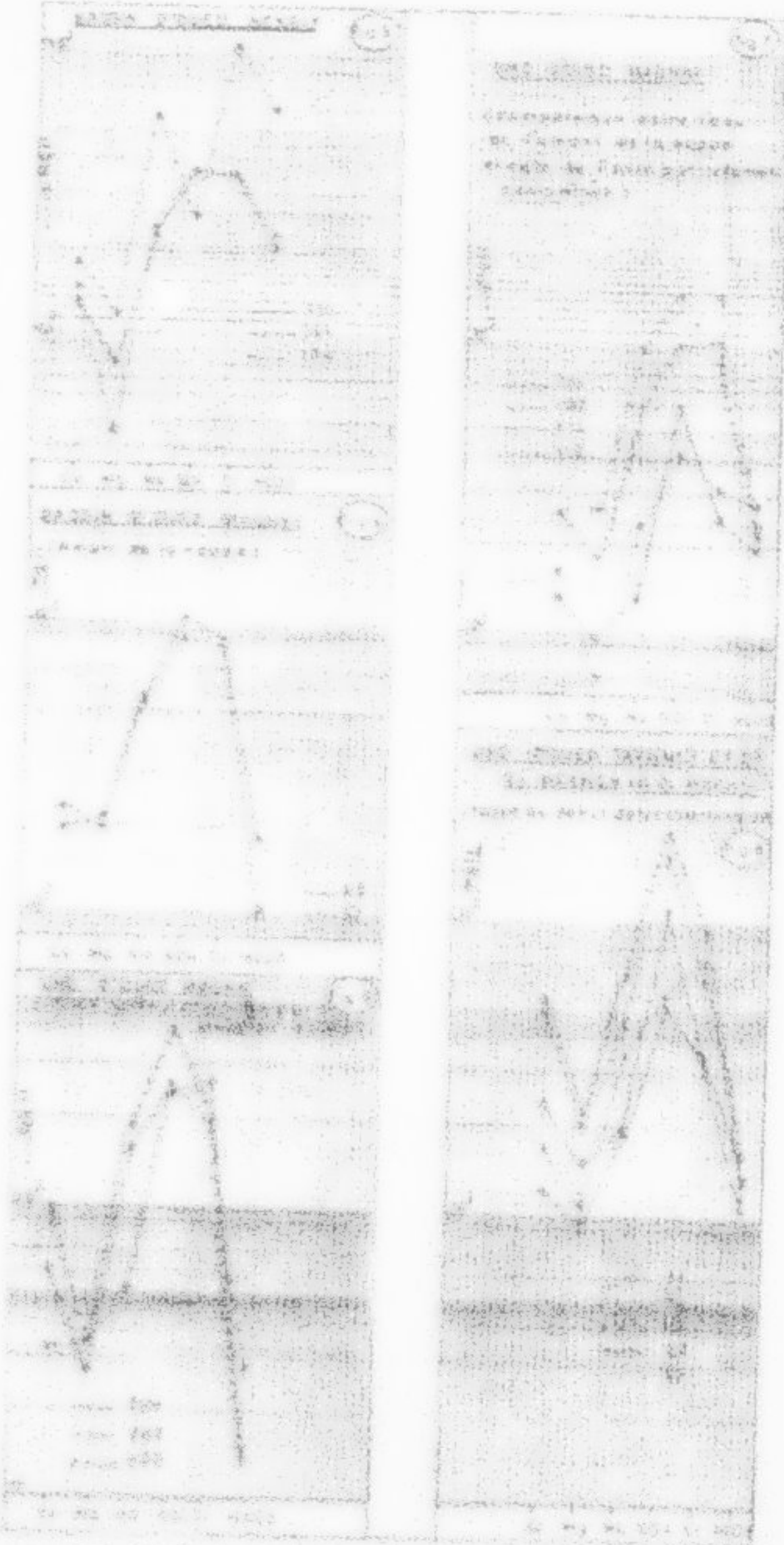
1940-1941

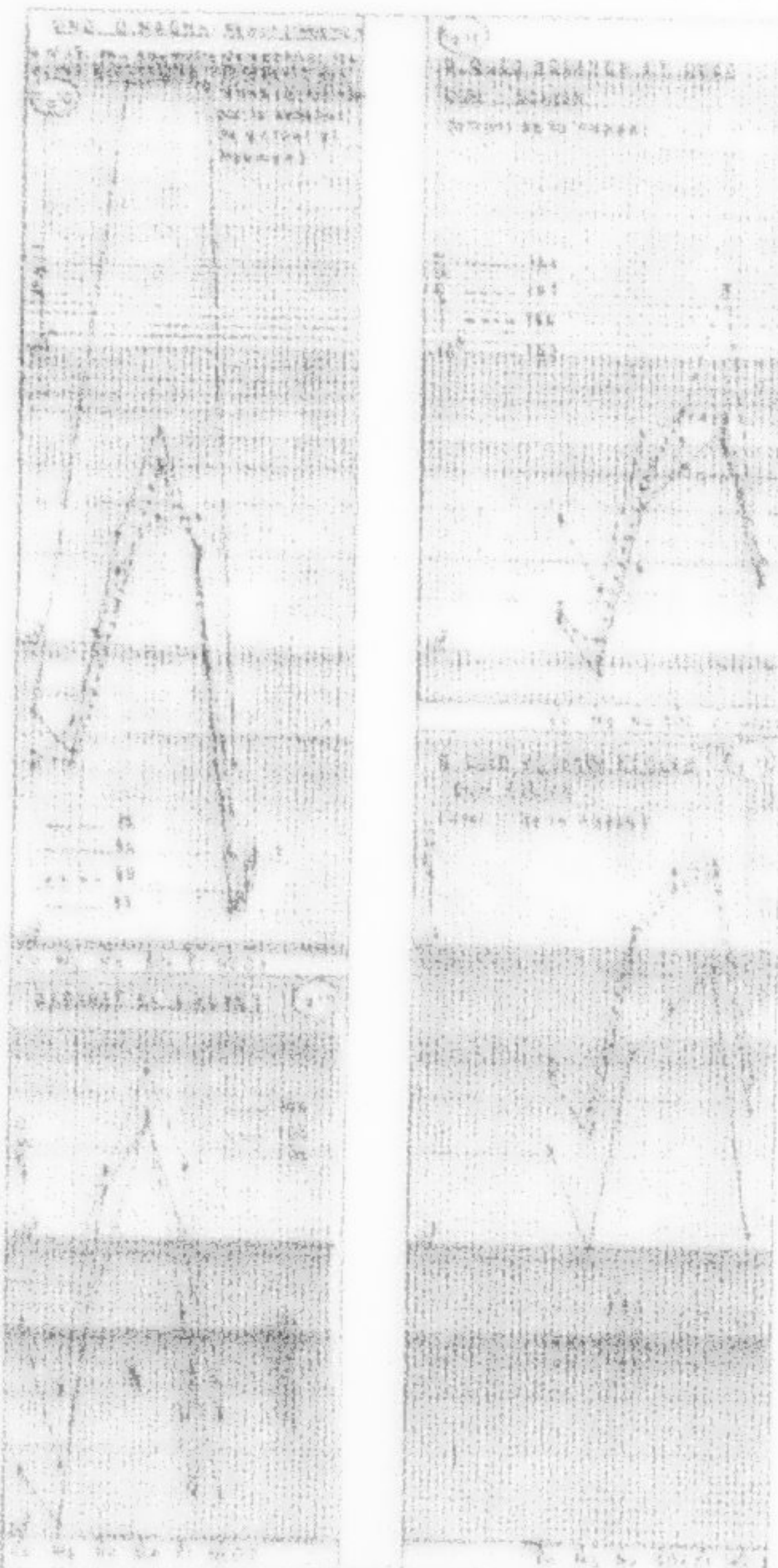
1940-1941
1940-1941
1940-1941

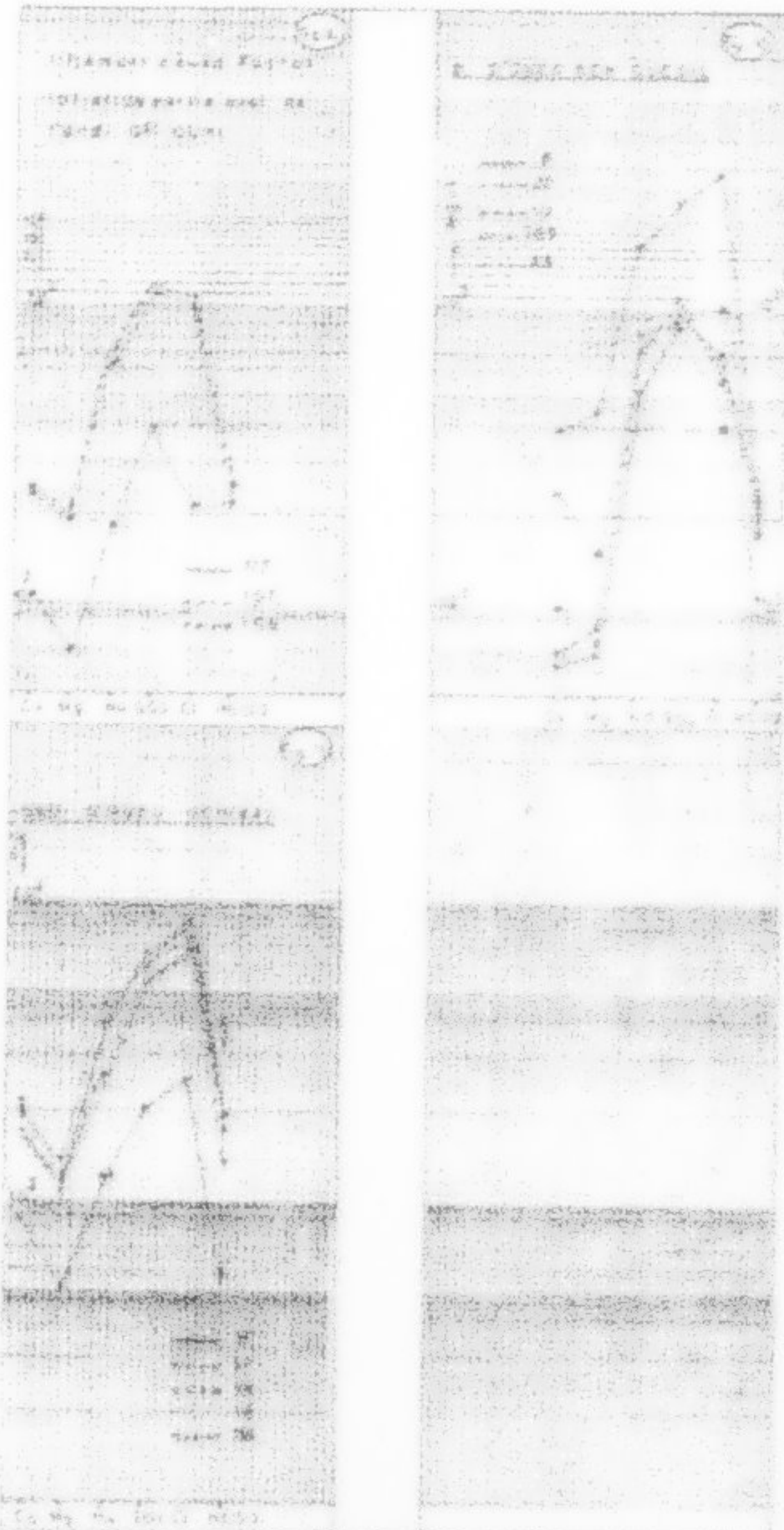
1940-1941

1940-1941

1940-1941







PAN

56

VUNG